

**Обзор гидрометеорологических процессов и оценки текущего состояния
дальневосточных морей за 2015 год
Синоптический обзор**

Синоптический обзор

Синоптический обзор содержит сведения о погодных условиях и синоптических объектах, их обусловивших, над дальневосточными морями по месяцам за 2015 г.

Январь

Японское море

В начале первой декады над Японским морем погодные условия формировались под воздействием циркуляции зимнего муссона. Ветер материковых направлений достигал 12–17 м/с, высота волн была 3–4 м, сохранялось обледенение судов.

4 января над акваторией моря проследовала неглубокая ложбина, а 5 января по югу прошёл частный антициклон с давлением в центре 1022 гПа.

6 числа с Жёлтого моря на Японское море вышли два циклона. Углубляясь, они следовали в северо-восточном направлении со скоростью 50–60 км/ч, над Татарским проливом объединились. Давление в центре циклона 7 января составляло 980 гПа. Скорость ветра в эти дни достигала штормовой силы 25–28 м/с, высота волн возросла до 4–5 м, шёл снег, отмечалось быстрое обледенение судов. Перевалив через южную часть Сахалина на акваторию Охотского моря, циклон со скоростью 20 км/ч перемещался на восток, сохраняя влияние на погодные условия Японского моря до конца декады. Скорость ветра была 13–18 м/с, высота волн – 3–4 м, сохранялись снежные заряды, обледенение судов.

Во второй декаде зимняя муссонная циркуляция нарушалась прохождением неглубоких циклонов, которые вызывали усиление ветра до 15–20 м/с, высоту волн до 2–3 м, небольшой снег.

Так, ныряющий циклон с давлением в центре 1014 гПа 11 января проследовал над центральной частью моря в восточном, юго-восточном направлении со скоростью 30 км/ч. Следующий циклон перемещался 15 числа над южными островами Японии вслед за антициклоном. Последний с давлением в центре 1032 гПа проследовал над южной частью моря со скоростью 20 км/ч.

В середине декады, 16 января, циклон с давлением в центре 1010 гПа, углубляясь, прошёл со скоростью 20 км/ч над центральной частью моря, обусловив ветер до 25 м/с, волнение в восточной части моря до 4 м, снег. 17 числа в северной половине моря отмечалось быстрое обледенение судов.

Последний циклон декады наблюдался 19 января с минимальным давлением в центре 1006 гПа; не вызвал значительного ухудшения погодных условий.

21 и 22 января над акваторией моря проследовала ложбина циклона, которая перемещалась над Тихим океаном вблизи южных островов Японии. Над северными районами моря перемещался частный циклон с давлением в центре 1018 гПа. Скорость ветра в эти дни не превышала 9–14 м/с, высота волн составляла 2–3 м. 23 января в тылу этого циклона (он переместился в Тихий океан), северный ветер усилился до 15–20 м/с, волнение моря возросло до 3–4 м, прошёл снег.

24 января над центральной частью моря проследовал ныряющий циклон, скорость ветра не превышала 8–13 м/с, высота волн была 1–2 м, отмечался небольшой снег.

26 января, после прохождения антициклона с давлением в центре 1033 гПа, на Японское море распространилась следующая область низкого давления, в области которой интенсивно углублялся циклон. Циклоническая система перемещалась в северо-восточном

**Обзор гидрометеорологических процессов и оценки текущего состояния
дальневосточных морей за 2015 год
Синоптический обзор**

направлении со скоростью 40 км/ч, 27 числа покинула акваторию моря, вызвав усиление северного ветра до 15–20 м/с, высоту волн до 3 м, быстрое обледенение судов.

В конце декады, 29 января, вслед за антициклоном с давлением в центре 1030 гПа, смещающимся по югу моря, с Китая вышел следующий циклон с давлением в центре 1016 гПа. Циклон перевалил через Японию, вышел в Тихий океан, где объединился с южным циклоном, значительно углубился, обусловив на акватории моря усиление северного ветра до 15–20 м/с, волны развивались до 3–4 м, прошёл снег.

Охотское море

В начале первой декады ветер над акваторией моря был северный сильный 15–20 м/с, волнение моря – 3–4 м, отмечались снежные заряды, быстрое обледенение судов. Ненастную погоду определял глубокий циклон, который 1 января находился вблизи западного побережья Камчатки. В течение следующих суток циклон перевалил через Камчатку в Охотское море и 3 января заполнился.

В это же время на западную часть Берингова моря вышел следующий глубокий циклон, определяя над Охотским морем значительные барические градиенты и сильный ветер. Через северную часть полуострова Камчатка он тоже переместился в Охотское море, заполнился 4 января.

Следующий циклон, оказывающий влияние на погодные условия Охотского моря, подошёл с Японского моря 6 января. Перемещался на восток со скоростью 30 км/ч над южной частью моря, постепенно заполнялся, вышел к Курильским островам и до конца декады находился в этом районе то со стороны Охотского моря, то со стороны Тихого океана. Минимальное давление в центре циклона составляло 972 гПа. Максимальная скорость ветра в Охотском море была 22–27 м/с, высота волн на юге моря достигала 4–5 м, прошёл сильный снег.

В начале второй декады погодные условия Охотского моря формировались под влиянием западной периферии алеутской депрессии. Скорость северных ветров была 13–18 м/с, высота волн не превышала 2–3 м, отмечались снежные заряды.

15 января вблизи Камчатки образовался циклон. Он перемещаться в западном направлении без существенного изменения давления, 17 числа находился вблизи северного Сахалина. На большей части акватории моря ветер ослабел до 9–14 м/с. В это же время, 17 января, к южным Курилам с Японского моря вышел циклон. Он интенсивно углублялся, перемещался над акваторией океана вблизи Курил со скоростью 40 км/ч, 18 января в южной части моря вызвал усиление ветра до 15–20 м/с, волнение моря развивалось до 3 м. На остальной акватории моря до конца декады сохранялся северный ветер 9–14 м/с, высота волн составляла 2–3 м, отмечались снежные заряды. В течение декады временами наблюдалось обледенение судов.

В начале третьей декады над Охотским морем располагалась ложбина, ориентированная с Берингова моря, с частными малоподвижными циклонами с давлением в центре 1016–1018 гПа. Скорость ветра на акватории моря не превышала 9–14 м/с, высота волн была 1–2 м.

С 23 по 25 января в Тихом океане южнее Курильских островов со скоростью 40 км/ч перемещался глубокий циклон с давлением в центре 970 гПа. В южной части моря он вызвал усиление ветра до 25–28 м/с, высоту волн 6–7 м, сильный снегопад.

26 числа над акваторией моря проследовал гребень антициклона, центр которого смещался южнее Курильских островов, а 27 января началось влияние циклона, который приближался с Японского моря. 28–29 января произошло усиление южного ветра до

**Обзор гидрометеорологических процессов и оценки текущего состояния
дальневосточных морей за 2015 год
Синоптический обзор**

23–28 м/с, высота волн достигала 5–6 м, отмечался сильный снег. До конца декады циклон, заполняясь, со скоростью 10 км/ч перемещался на север. Минимальное давление в его центре составило 990 гПа, 31 числа циклон вышел к северному побережью с давлением в центре 1016 гПа.

Берингово море

Алеутская депрессия в первой декаде января располагалась над западной половиной Берингова моря. Первый циклон с давлением в центре 964 гПа 1 января перевалил через Камчатку в Охотское море, другой циклон вышел на западную часть Берингова моря 3 января, также проследовал на север моря, заполняясь, перевалил в Охотское море через северную часть полуострова Камчатка. Максимальный ветер на акватории моря в начале декады был 23–28 м/с, высота волн – 5–6 м, шёл снег.

Следующий влияющий циклон с давлением в центре 972 гПа вышел к юго-восточной оконечности Камчатки 5 января. Он заполнился 7 числа в этом же районе.

9 января на северо-востоке моря в ложбине аляскинского циклона образовался частный циклон с давлением в центре 992 гПа. Наличие антициклона над Чукоткой и области низкого давления южнее Алеутских островов формировало над акваторией Берингова моря напряженные барические градиенты, поэтому в конце декады ветер был сильный 12–17 м/с, высота волн до 4 м.

В течение второй декады алеутская депрессия находилась вблизи Алеутских островов со стороны Тихого океана. За счёт высокого атмосферного давления над Колымой и Чукоткой над акваторией моря сформировались напряжённые барические градиенты, что обусловило в начале декады скорость ветра до 13–18 м/с, высота волн составляла 3–4 м, на крайнем юго-западе – до 5 м.

13 января на востоке моря образовался высокий циклон с давлением в центре 972 гПа, который перемещался в западном направлении со скоростью 30–40 км/ч, заполнялся, подошел к восточному побережью Камчатки 17 января с давлением в центре 1000 гПа. Затем в течение 18–19 января циклон в стадии старого барического образования медленно перемещался на восток, заполнился 20 января. Скорость ветра на акватории Берингова моря сохранялась в пределах 13–18 м/с, 16–17 января на востоке моря за счёт углубления циклона над Аляской скорость возрастала до 18–23 м/с, максимальная высота волн достигала 4–5 м. Местами отмечались снежные заряды.

В начале третьей декады основной циклогенез наблюдался в Тихом океане вблизи Алеутских островов, а над Беринговым морем сформировались значительные барические градиенты. Скорость ветра была 18–23 м/с, высота волн 2–3 м, на юге моря до 4–5 м, отмечались отдельные снежные заряды. 24 января циклон переместился в залив Аляска, барические градиенты над Беринговым морем уменьшились – ветер ослабел до 9–14 м/с, волнение моря успокоилось до 2 м.

Перемещение следующей депрессии в Тихом океане отмечалось 25–26 января, на акватории Берингова моря вновь отмечалось усиление ветра до 20–27 м/с, волнение моря развивалось до 4–5 м.

27 января на западную часть моря с Колымы переместился антициклон с давлением в центре 1030–1034 гПа. Область высокого давления перемещалась на восток со скоростью 20–30 км/ч, способствуя сохранению больших барических градиентов над восточной половиной моря. К концу декады она располагалась над восточной половиной моря. Ветры здесь ослабели до 8–13 м/с, волнение моря – до 2–3 м. На западную часть моря 31 января с

**Обзор гидрометеорологических процессов и оценки текущего состояния
дальневосточных морей за 2015 год
Синоптический обзор**

юга вышел циклон с давлением в центре 1008 гПа, вызвавший в этом районе ветер до 13–18 м/с, высоту волн 2–3 м, снег.

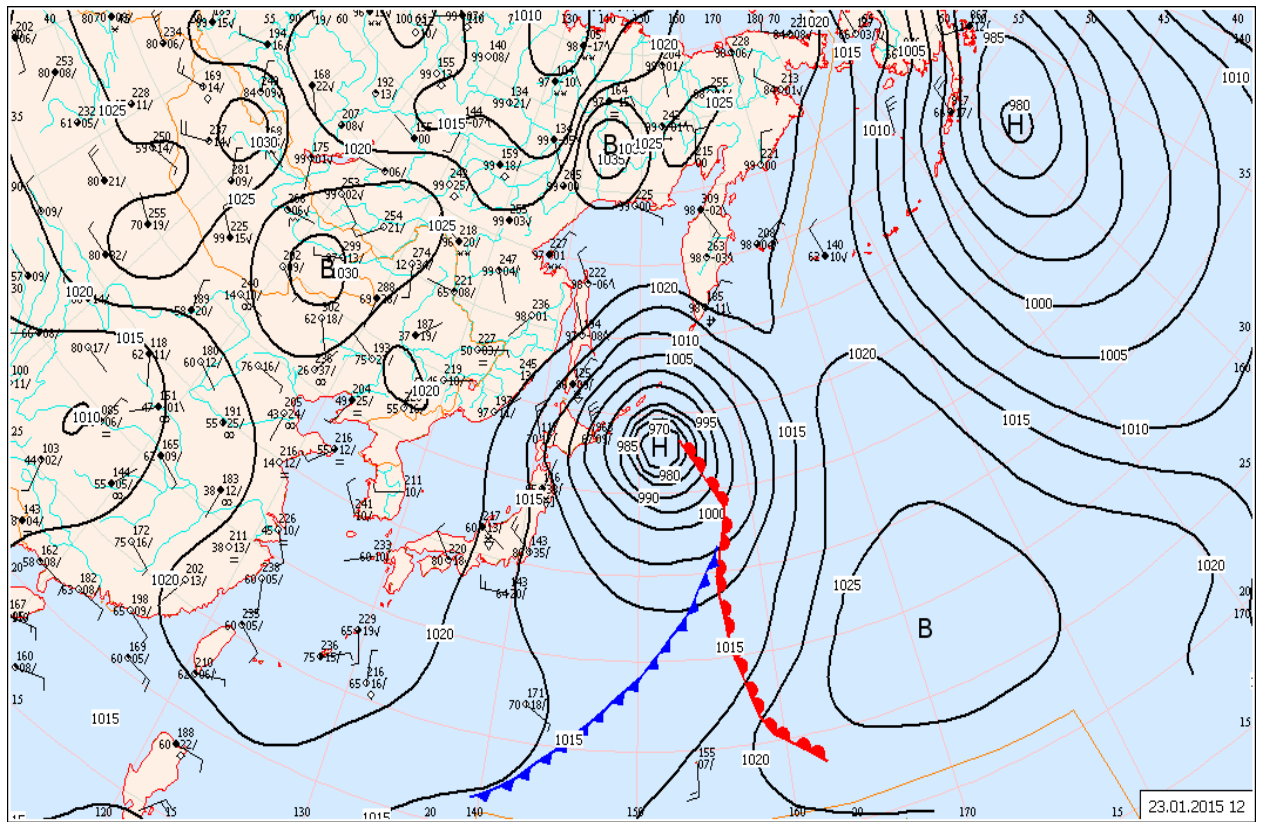


Рисунок 1-1 Приземная карта за 12 ВСВ 23 января 2015 г.

**Февраль
Японское море**

В начале месяца над Японским морем отмечалась циркуляция зимнего муссона. Скорость северного ветра составляла 9–14 м/с, но в начале декады за счёт глубокого малоподвижного циклона над Тихим океаном вблизи Японских островов ветер был сильный – 15–20 м/с, волнение моря развивалось до 3–4 м, видимость при снежных зарядах понижалась до 1–3 км, в северной половине моря отмечалось обледенение судов

5 февраля по югу моря со скоростью 20 км/ч проследовал неглубокий циклон, который существенных изменений в погоде не вызвал.

7 февраля на центральную часть моря с Китая вышел циклон с давлением в центре 1014 гПа. Смещаясь в северо-восточном направлении со скоростью 30–40 км/ч и интенсивно углубляясь, циклон быстро перешёл в стадию развитого высокого образования, скорость перемещения уменьшилась до 20 км/ч. 9 числа данный циклон вышел в район пролива Лаперуза с давлением в центре 988 гПа. Скорость ветра в Японском море составляла 18–23 м/с, максимальная высота волн – 4–5 м, отмечалось быстрое обледенение судов.

В начале второй декады над Японским морем сохранялось поле низкого давления. Один из циклонов 11 февраля перемещался над центральной частью моря на восток, юго-восток со скоростью 30 км/ч, давление в центре циклона составляло 1008 гПа. У берегов Японии 12 февраля он заполнился. В это же время, 12 февраля, на западе моря возник следующий циклон, который также перемещался на юго-восток, восток со скоростью 20 км/ч, углублялся, в районе Сангарского пролива 13 числа давление в его центре

**Обзор гидрометеорологических процессов и оценки текущего состояния
дальневосточных морей за 2015 год
Синоптический обзор**

составляло 990 гПа. Циклон обусловил ветер штормовой силы 20–25 м/с, высоту волн 3–4 м, временами снег. Переместившись в северо-западную часть Тихого океана вблизи восточного побережья Японии циклон значительно углубился, превратился в высокое малоподвижное барическое образование, что способствовало сохранению сильного северного ветра до 15–20 м/с в восточной части Японского моря, высота волн составляла 2–3 м, снежные заряды отмечались вплоть до 15 числа.

На западную часть моря с Китая 15 февраля распространился гребень антициклона, который 16 числа формировал погодные условия над всей акваторией моря.

17 февраля над южной половиной моря с Желтого моря перемещалась следующая область низкого давления. Один из циклонов проходил южнее Японии, другой – над южной половиной моря с давлением в центре 1008 гПа. Последний перемещался со скоростью 10 км/ч, и, приблизившись к Японии, оставался малоподвижным в этом районе до 19 числа. Антициклон, который подошел с Китая, способствовал сохранению напряженных барических градиентов над акваторией Японского моря в конце декады. Скорость ветра в конце декады составляла 12–17 м/с, высота волн – до 2–3 м, местами шёл снег.

21 февраля акватория Японского моря находилась под воздействием антициклона с давлением в центре 1030 гПа. 22 февраля с Желтого моря сместился циклон глубиной 1006 гПа. В течение суток он, углубляясь, со скоростью 40 км/ч смещался на северо-восток, 24 февраля через Татарский пролив вышел в Охотское море с давлением в центре 994 гПа. В Японском море циклон обусловил усиление ветра до 18–23 м/с, волнение моря 3–4 м, осадки в виде дождя и мокрого снега.

25 февраля через акваторию моря проследовал антициклон с давлением в центре 1022 гПа. Наблюдались умеренный ветер 5–10 м/с, волнение моря 0,5–1,5 м, видимость хорошая.

26 февраля в Японское море с Желтого моря вышел очередной циклон с давлением в центре 1018 гПа. В течение суток он смещался на восток со скоростью 30 км/ч, углублялся, 27 февраля находился над Татарским проливом с давлением в центре 998 гПа. 28 февраля циклон достиг глубины 992 гПа и переместился в Охотское море. Погодные условия Японского моря формировались под влиянием тыловой части этого циклона. Отмечалось усиление северного ветра до 18–23 м/с, волнение моря развивалось до 3–4 м, отмечались осадки в виде дождя и мокрого снега, видимость была 1–3 км.

Охотское море

В начале месяца на Охотское море оказывал влияние циклон, который перемещался над Тихим океаном вблизи Курильских островов. Скорость ветра в южной части моря достигала 20–25 м/с, высота волн развивалась до 4–5 м, на юге моря прошёл сильный снег.

5 февраля ветер стих до 10–15 м/с, волнение моря улеглось до 2 м. Начиная с 8 февраля, на погоду Охотского моря оказывал влияние циклон, который приближался со стороны Японского моря. На западе Охотского моря произошло усиление ветра до 15–20 м/с, а 9 числа, когда давление в центре циклона понизилось до 988 гПа, скорость ветра достигала 20–25 м/с, волнение моря возросло до 4–5 метров, прошёл сильный снег.

11 февраля на Охотское море с районов Японского моря вышел глубокий циклон. Превратившись в высокое малоподвижное барическое образование, циклон заполнялся, минимальное давление в его центре составляло 986 гПа. Он наблюдался на картах погоды вблизи Сахалина до 13 февраля. Скорость ветра в зоне циклона была 18–23 м/с, высота волн – 3–4 м, отмечался сильный снег.

**Обзор гидрометеорологических процессов и оценки текущего состояния
дальневосточных морей за 2015 год
Синоптический обзор**

13 февраля с Японского моря к Курильским островам со стороны Тихого океана вышла следующая депрессия, один из циклонов этой депрессии вышел на южную часть Охотского моря. 15 числа произошло объединение циклонов и их последующее углубление в районе Курил до 974 гПа, что послужило причиной штормовой погоды. Ветер в южной части моря достигал 23–28 м/с, волнение моря развивалось до 5–6 м, видимость при снеге понижалась до 2–3 кабельтовых. В последующие дни циклон медленно (со скоростью 20–30 км/ч) перемещался на восток, юго-восток, ветер в Охотском море постепенно стихал. 17 числа на акваторию моря с запада вышел гребень якутского антициклона, определяя погодные условия до конца декады.

21–23 февраля южная половина Охотского моря была под влиянием антициклона с давлением в центре 1030 гПа, который со скоростью 20 км/ч перемещался вдоль Курильских островов над северо-западной частью океана. Над северной половиной моря располагался гребень антициклона, расположенного над Якутией. Наблюдались умеренный ветер 6–11 м/с, волнение моря 0,5–1,5 м, местами туман при видимости менее 1000 м.

24 февраля на южную половину моря вышел циклон с давлением в центре 994 гПа. Здесь наблюдались восточный ветер 15–20 м/с, высота волн 2–3 м, снег ухудшал видимость до 1–3 км. 25 февраля циклон сместился к восточному побережью Камчатки и углубился до 984 гПа. В тылу циклона наблюдались северный ветер 15–20 м/с, высота волн 2–3 м, кратковременные заряды снега с ухудшением видимости до 1–3 км. 26 февраля циклон заполнялся у восточного побережья Камчатки. Над акваторией моря наблюдался северный ветер 9–14 м/с, высота волн составляла 1–2 м, сохранялись кратковременные осадки.

27 февраля установилось малоградиентное поле повышенного давления, что определяло слабый ветер, волнение моря 0,5–1,5 м.

28 февраля южная часть акватории находилась под воздействием циклона с давлением в центре 984 гПа, который смещался вдоль Курильских островов над северо-западной частью Тихого океана со скоростью 30–40 км/ч на северо-восток. На юге моря наблюдался северо-восточный ветер до 25 м/с, высота волн развивалась до 5–6 м, сильный снег ухудшал видимость до 1000 м и менее.

Берингово море

В начале месяца над Беринговым морем преобладало поле высокого давления. Неглубокий циклон 1 февраля с северо-западной части моря ушёл на континент, на юго-западную часть моря с Тихого океана распространился антициклон с давлением в центре 1028 гПа. Антициклон без существенного изменения давления перемещался над акваторией моря в северо-восточном направлении со скоростью 20 км/ч, 5 февраля вышел на Чукотку.

Перепад давления между областью высокого давления над Чукоткой и Колымой и глубокими циклонами над Тихим океаном вблизи Алеутской гряды определил напряженные барические градиенты над Беринговым морем. Скорость ветра, начиная с 5 февраля, составляла 13–18 м/с, высота волн была 3–4 м, на юге моря временами шёл снег.

9–10 числа на западную часть моря с Колымы распространился гребень антициклона, давление в центре которого составляло 1036 гПа. Восточная часть акватории находилась под влиянием западной периферии глубокого циклона, который располагался вблизи восточной части Алеутских островов. Скорость ветра в этом районе составляла 18–23 м/с, волнение выросло до 4–5 м, временами отмечались снежные заряды.

В первой половине второй декады над западной частью моря наблюдалось поле высокого давления, ветер был умеренный 5–10 м/с, волнение моря – 1–2 м. Восточная половина моря находилась под влиянием тыловой части циклонов, который располагался

**Обзор гидрометеорологических процессов и оценки текущего состояния
дальневосточных морей за 2015 год
Синоптический обзор**

над Бристольским заливом. Здесь наблюдались северный ветер 18–23 м/с, волнение моря до 5 м, временами снежные заряды с ухудшением видимости до 1–3 км.

Во второй половине декады основной циклогенез по-прежнему отмечался над Бристольским заливом. На западе моря 17–18 числа барические градиенты были напряженными. На большей части акватории наблюдались северо-восточный ветер 15–20 м/с, волнение моря 3–4 м. В конце декады, 19–20 февраля, через акваторию моря смещались неглубокие циклоны с давлением в центре около 1008 гПа. В их зоне наблюдались свежий ветер 7–12 м/с, волнение моря 1–2 м, местами небольшой снег с ухудшением видимости до 1–2 км.

В начале третьей декады в Берингово море с Тихого океана вышел циклон с давлением в центре 984 гПа. В течение двух суток он медленно смещался на север и заполнялся, 24 февраля переместился на Камчатку и заполнился до 996 гПа. На большей части акватории Берингова моря циклон вызвал усиление ветра до 15–20 м/с, волнение моря 3–4 м, временами снег с ухудшением видимости до 1–3 км.

25 февраля на юго-запад моря с Тихого океана вышел следующий циклон с давлением в центре 984 гПа. В течение суток он смещался на север, северо-восток и заполнялся. 26 февраля циклон находился вблизи побережья Чукотки с давлением в центре 998 гПа, превратился в малоподвижное образование, в течение 27–28 февраля заполнялся, медленно смещаясь на восток. На большей части акватории моря циклон вызвал усиление ветра до 18–23 м/с, волнение моря до 5–6 м, временами снег с ухудшением видимости до 1–3 км.

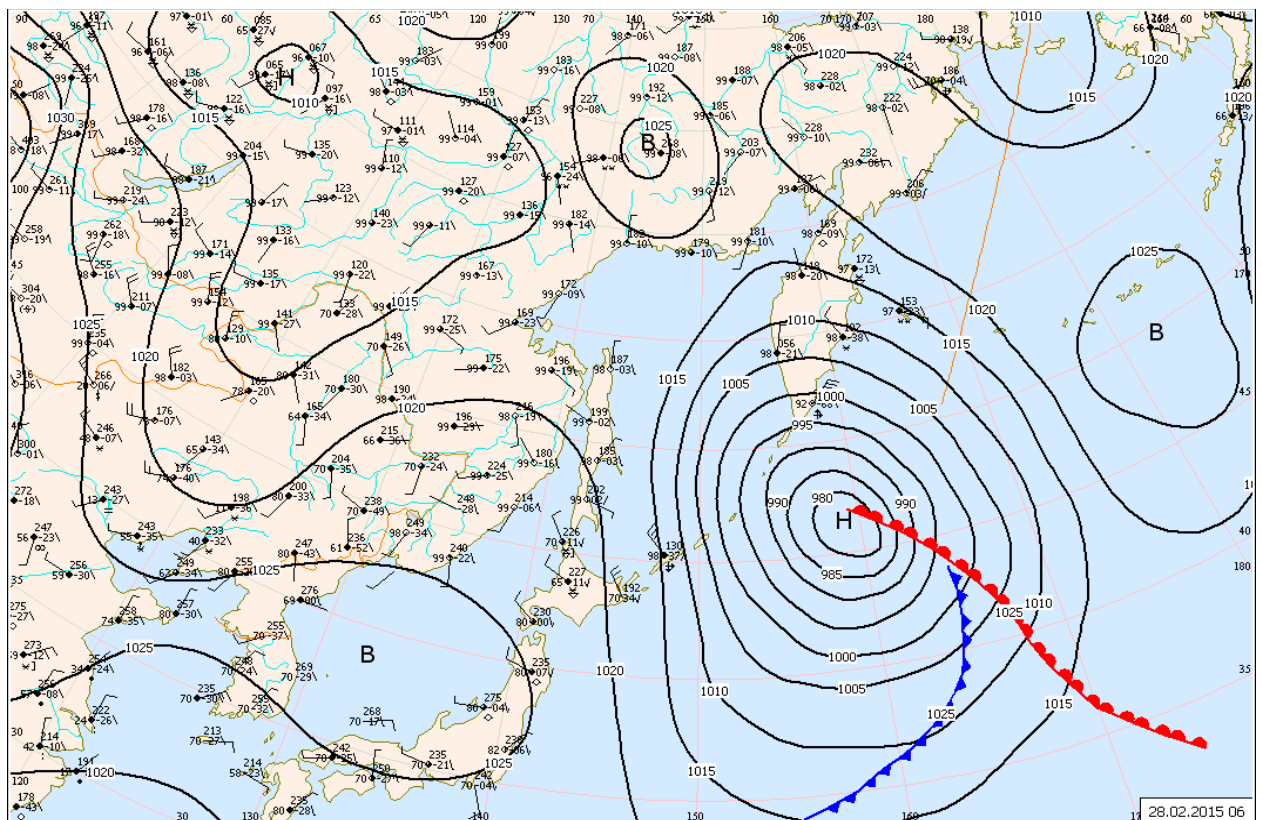


Рисунок 1-2 Приземная карта за 06 ВСВ 28 февраля 2015 г.

**Обзор гидрометеорологических процессов и оценки текущего состояния
дальневосточных морей за 2015 год
Синоптический обзор**

**Март
Японское море**

В первой половине первой декады над Японским морем отмечался активный циклогенез. Первого числа над акваторией моря проследовала неглубокая область низкого давления, не вызвавшая существенного усиления ветра. Следующий циклон вышел на акваторию моря 3 марта. Превратившись в высокое барическое образование, он перемещался на восток со скоростью 30 км/ч, подошел к побережью Японии с давлением в центре 998 гПа, 5 числа заполнился. Этот циклон и активный циклогенез в северо-западной части Тихого океана способствовали усилению ветра до 18–23 м/с, волны развивались до 4–5 м

6 марта над морем со скоростью 30 км/ч проследовал антициклон с давлением в центре 1028 гПа. В течение 7–8 марта погодные условия определял гребень антициклона, центр которого был расположен в районе Курил. В конце декады, 9 числа, с районов Желтого моря вышел глубокий циклон, у побережья Хоккайдо он углубился до 988 гПа. С ним в паре над южными островами Японии перемещался южный циклон. В зоне действия этих циклонов на акватории моря ветер достигал 20–25 м/с, высота волн развивалась до 4–5 м, отмечались сильные осадки.

В начале второй декады, 11–12 марта, Японское море было во власти глубокого циклона, центр которого находился над северной частью моря. Давление в его центре 11 числа составляло 974 гПа. Скорость ветра в зоне циклона достигала 22–27 м/с, высота волн развивалась до 5–6 м, у берегов Японии – до 7 м, отмечался сильный снег.

13 числа на большей части акватории моря сохранялся ветер 12–17 м/с, высота волн – в пределах 2–3 м. В середине декады на южную часть моря с запада переместился антициклон с давлением в центре 1025–1028 гПа. Северная часть оставалась под влиянием области низкого давления, основной циклон перемещался над северо-восточным Китаем и Хабаровским краем. Скорость ветра на акватории моря не превышала 10–13 м/с, высота волн была менее 2 м, местами отмечались туманы.

17 марта над морем прошла неглубокая ложбина. В тыл ей с районов Китая распространился антициклон с давлением в центре 1022 гПа, 19 числа он переместился в Тихий океан.

В конце декады, 18–19 марта, над южными островами Японии со скоростью 40 км/ч прошёл циклон с давлением в центре 1006 гПа. Он обусловил в южной части моря ветер до 9–14 м/с, высоту волн 1–2 м. Над остальной акваторией моря в конце декады преобладало поле повышенного давления и маловетрие.

В первой половине третьей декады погодные условия формировал глубокий циклон, который 22 марта с Китая вышел на северную часть Приморского края, его ложбина распространилась на акваторию Японского моря. Днём в заливе Петра Великого у точки окклюзии образовался молодой циклон. Он, углубляясь, стал перемещаться на северо-восток, 23 марта вышел в северную часть моря с давлением в центре 1000 гПа, 24 числа находился над проливом Лаперуза. Максимальная скорость ветра на акватории Японского моря составила 18–23 м/с, волны развивались до 3–4 м, прошли осадки.

В середине третьей декады на Японское море переместилась область высокого давления; центр антициклона располагался над Желтым морем и Корейским полуостровом с давлением 1036 гПа. На северную часть моря оказывала влияние южная периферия ложбины. Скорость ветра составляла 8–13 м/с, высота волн – 1–2 м, местами образовались туманы.

В конце месяца антициклон переместился в Тихий океан, заполнившаяся ложбина развернулась к югу и 29 числа перемещалась над акваторией моря. 30 марта со скоростью

**Обзор гидрометеорологических процессов и оценки текущего состояния
дальневосточных морей за 2015 год
Синоптический обзор**

40 км/ч перемещалась следующая область высокого давления с ядрами 1018 и 1022 гПа. 31 марта погодные условия формировались под воздействием очередной ложбины, циклон перемещался над Хабаровским краем. Из опасных явлений наблюдались туманы.

Охотское море

В начале месяца, 1 марта, над Охотским морем наблюдалось поле высокого давления. В течение 2–4 марта погодные условия формировались под воздействием глубокого циклона, который перемещался над Курильскими островами со скоростью 50 км/ч. Ветер в Охотском море усилился до 20–25 м/с, высота волн достигала 3–4 м, прошел сильный снег.

Следующий циклон следовал по той же траектории со скоростью 40–50 км/ч 5 марта, давление в его центре составляло 980 гПа. Циклон обусловил в южной половине моря ветер 20–25 м/с, высоту волн 3–4 м, снег.

6–7 марта над морем наблюдалось поле высокого давления; 8 марта на западную часть акватории началось влияние следующего циклона, который с Хабаровского края перемещался в северо-западную часть Охотского моря. Давление в центре циклона составляло 1018 гПа. Скорость ветра на акватории моря составила 10–15 м/с, высота волн не превышала 2 м, наблюдались туманы.

10 марта над Охотским морем за счёт активного циклогенеза в Японском море и Тихом океане вблизи южных Курил и мощного антициклона в районе Командорских островов сформировались напряженные барические градиенты. Ветер достигал 13–18 м/с, волнение моря развивалось до 2–3 м.

В начале второй декады на погодные условия Охотского моря продолжал оказывать влияние глубокий циклон, расположенный над Японским морем. Скорость ветра достигала 22–27 м/с, волнение моря развивалось до 6–7 м, отмечались сильные осадки. 12 марта циклон вышел в юго-западную часть Охотского моря с давлением в центре 980 гПа. Смещаясь на северо-восток и заполняясь, 13 числа через южную Камчатку он перевалил в Тихий океан. В течение 13–14 марта скорость ветра над акваторией моря составляла 10–15 м/с, волнение моря улеглось до 2–3 м.

15 марта на Охотское море с юга распространился гребень антициклона. В течение 16–18 марта над акваторией моря перемещалась следующая область низкого давления, она вышла с Хабаровского края, минимальное давление в центре было около 1005 гПа. Скорость ветра в эти дни не превышала 10–15 м/с, высота волн была в пределах 1–2 м.

В конце второй декады погодные условия формировались под влиянием поля повышенного давления, которое распространялось с районов Японского моря и Колымы. В течение декады местами отмечались туманы.

В начале третьей декады над морем располагалась область высокого давления. Давление в ядрах составляло 1022–1024 гПа. В течение 23–25 марта в Тихом океане вблизи Курильских островов перемещался глубокий циклон с минимальным давлением в центре 1000 гПа. Скорость ветра в эти дни в южной части моря достигала 18–23 м/с, волны развивались до 3–4 м, прошли сильные осадки. На севере моря сохранялся антициклон с давлением в центре 1028 гПа.

27 марта на северо-восточное побережье моря с Якутии вышел глубокий циклон с минимальным давлением в центре 984 гПа. Перемещаясь на восток со скоростью 20 км/ч и, заполняясь, циклон покинул акваторию моря 29 марта. Максимальная скорость ветра в северной части Охотского моря достигала 15–20 м/с, волнение моря – 2–3 м, отмечался снег.

**Обзор гидрометеорологических процессов и оценки текущего состояния
дальневосточных морей за 2015 год
Синоптический обзор**

Вслед за быстро перемещающимся антициклоном с давлением в центре 1018 гПа, 31 числа на южную часть Охотского моря вышел циклон с давлением в центре 1000 гПа. Скорость ветра возросла до 13–18 м/с, высота волн составляла 2–2,5 м, начались осадки.

В течение третьей декады местами отмечался туман.

Берингово море

В первой декаде над Беринговым морем преобладала активная циклоническая деятельность. Над западной частью моря в северо-восточном направлении со скоростью 30–40 км/ч перемещались глубокие обширные циклоны. Так, 1–2 марта проследовал циклон с давлением в центре 988 гПа, 4–5 марта давление его в центре составляло 990 гПа. 6–7 числа прошёл следующий циклон с давлением в центре 985 гПа. Циклоны обусловили скорость ветра 20–25 м/с, волнение моря 5–6 м, сильные осадки.

Только в конце декады на акваторию моря с районов Охотского моря и Колымы переместилась многоцентровая область высокого давления. Максимальное давление в ядрах составило 1040 гПа.

В начале второй декады погодные условия формировались под воздействием обширного антициклона, центр которого с давлением 1042 гПа располагался на западе моря. Он перемещался в восточном направлении со скоростью 30 км/ч и разрушался, 13 числа вышел на акваторию Бристольского залива.

На западе моря с приближением циклона с Охотского моря 11 марта до 15–20 м/с усилился юго-восточный ветер, волнение моря возросло до 3–4 м. 12 числа циклон вышел на западную часть Берингова моря, превратился в высокое малоподвижное образование с давлением в центре 992 гПа, оставался в этом районе до 15 числа. Образовавшийся у точки окклюзии молодой циклон перемещался над южной частью моря в восточном направлении со скоростью 30 км/ч. Минимальное давление в его центре составляло 984 гПа. Скорость ветра над центральной частью моря достигала 20–25 м/с, высота волн развивалась до 4–5 м, отмечался снег. 16 марта циклон заполнился на востоке моря. Ветер во второй половине декады постепенно ослабевал, но на востоке моря, за счёт близости глубокого циклона вблизи восточных островов Алеутской гряды сохранялся сильный 18–23 м/с, высота волн составляла 4–5 м. На западе моря в конце декады установилось поле высокого давления.

Большую часть третьей декады погодные условия на востоке моря формировались под воздействием западной периферии циклонов, которые с Тихого океана перемещались к восточной части Алеутской гряды. Над западной половиной моря наблюдалась область высокого давления с максимальным давлением 1028 гПа; разрушаясь, она оставалась в этом районе до 27 марта.

28 числа с Охотского моря на западную часть Берингова моря вышла депрессия. Со скоростью 20 км/ч она перемещалась над морем в восточном направлении, 31 марта вышла в район восточной части Алеутских островов с давлением в центре 1002 гПа. Максимальная скорость ветра отмечалась на западе моря и составила 15–20 м/с, максимальная высота волн – 3–4 м. Высота волн в восточной части моря была менее 2 м.

**Обзор гидрометеорологических процессов и оценки текущего состояния
дальневосточных морей за 2015 год
Синоптический обзор**

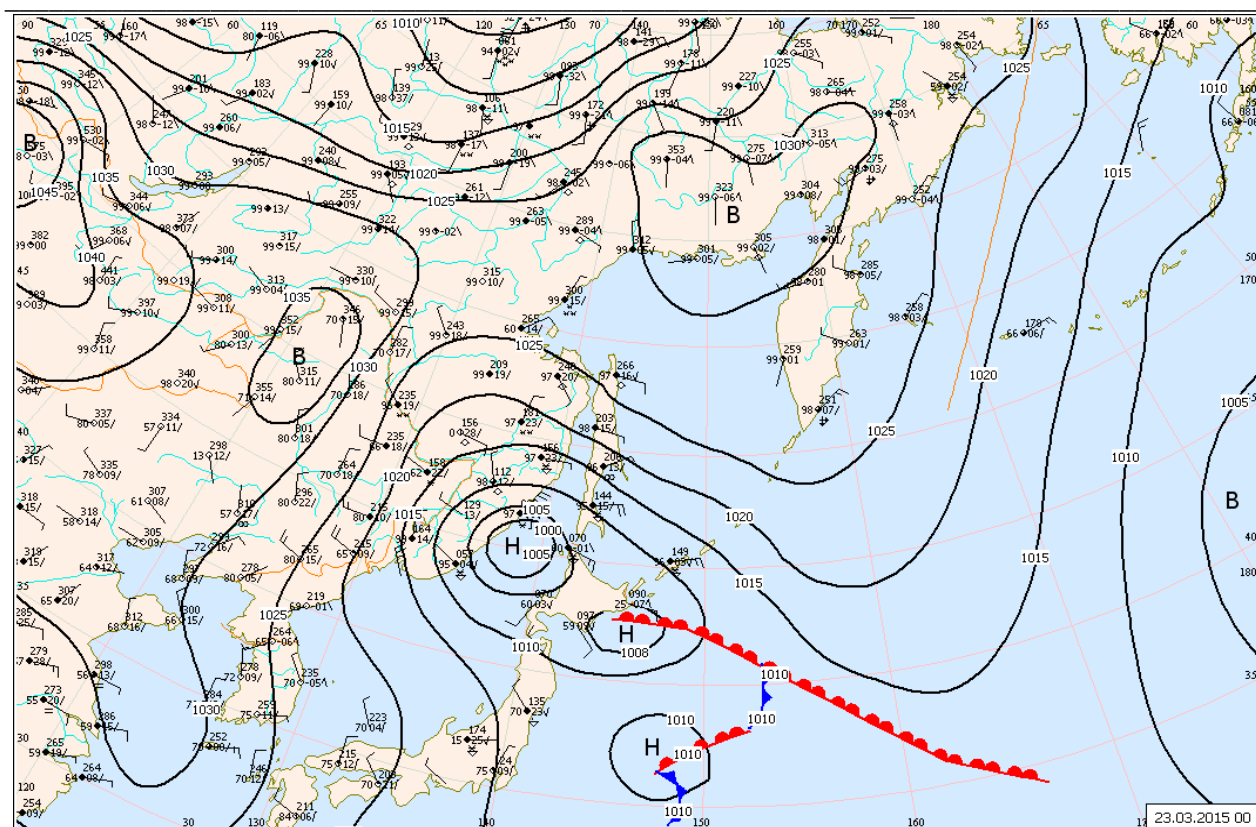


Рис. 1-3 Приземная карта за 00 ВСУ 23 марта 2015 г.

**Апрель
Японское море**

В начале месяца, 1–2 апреля, с районов Монголии и Китая через акваторию Японского моря со скоростью 30 км/ч на восток проследовал антициклон с давлением в центре 1020 гПа. В его зоне наблюдались умеренный ветер 5–10 м/с и умеренное волнение моря 0,5–1,5 м.

3 апреля с Желтого моря вышел циклон с давлением в центре 988 гПа, который в течение суток, углубляясь, смещался на северо-восток со скоростью 40 км/ч, 4 апреля вышел на акваторию Охотского моря. Минимальное давление в центре циклона было 984 гПа. В Японском море циклон вызвал ветер 18–23 м/с, волнение моря до 5 м, осадки в виде дождя, на севере моря – в виде снега и мокрого снега. 4 апреля в тыл циклону на акваторию моря с районов Сибири распространился гребень. Наблюдались умеренный северо-западный ветер 6–11 м/с, высота волн 1–2 м, местами туман при видимости менее 1000 м.

5 апреля на волне полярного фронта на юге моря образовался циклон с давлением в центре 1012 гПа. В течение суток он слабо углублялся, смещался на северо-западный со скоростью 30 км/ч и 6 апреля вышел в район Сангарского пролива с давлением в центре 1008 гПа. Циклон вызвал в северной половине моря усиление ветра до 15–18 м/с, волнение моря развивалось до 1–2 м, отмечались небольшие осадки в виде дождя и мокрого снега.

7 апреля на акваторию моря распространился гребень сибирского антициклона. Наблюдались северо-западный ветер 9–14 м/с, волнение моря 1,5–2,5 м. В течение 8–10 апреля через акваторию Японского моря в северо-западную часть Тихого океана проследовал антициклон с давлением в центре 1032 гПа. Он обусловил слабый до умеренного ветер 3–8 м/с, волнение моря 0,5–1,0 м.

**Обзор гидрометеорологических процессов и оценки текущего состояния
дальневосточных морей за 2015 год
Синоптический обзор**

В первой половине второй декады над акваторией Японского моря преобладало поле высокого давления, только на крайнем юге сказывалось влияние циклона, который 13 апреля перемещался над южными островами Японии. Давление в ядрах составляло 1032 гПа, скорость смещение – 30 км/ч. Скорость ветра на акватории моря не превышала 5–10 м/с, на юге моря – 9–14 м/с. Максимальное волнение моря отмечалось на юге – 2–3 м. Местами наблюдался туман.

В течение 14–15 числа над Японским морем проследовала область низкого давления. Основной циклоном смещался над центральной частью моря со скоростью 20 км/ч с давлением в центре 998 гПа. Ветер усиливался до 9–14 м/с, высота волн составляла 1–2 м, местами прошли дожди. 16 апреля циклон вышел на акваторию Тихого океана, на западную часть Японского моря с районов Жёлтого моря переместился следующий циклон с давлением в центре 1000 гПа. Последний перемещался в северо-восточном направлении со скоростью 40 км/ч, 18 числа покинул северную часть моря, сместившись на Охотское море.

Ещё один циклон вышел на южную часть моря с Желтого моря 20 апреля, обусловив усиление ветра до 15–18 м/с. Давление в центре циклона составляло 996 гПа. В дальнейшем циклон переместился на Охотское море. В северной половине моря 21–22 числа сохранялся западный ветер 10–15 м/с, волнение моря развивалось до 2 м, на востоке моря отмечались дожди. В южной половине моря погодные условия формировались под воздействием поля высокого давления.

24 апреля на Татарский пролив с Хабаровского края переместился циклон с давлением в центре 1002 гПа, над Японским морем прошла глубокая ложбина с фронтальным разделом. Ветер был 13–18 м/с, высота волн – до 2 м, отмечался туман, прошли дожди.

26 апреля по такой же траектории прошёл ещё один циклон с давлением в центре 998 гПа, вызвавший ветер 13–18 м/с, высоту волн 2–3 м.

В конце месяца на Японское море распространилось поле высокого давления, но 30 числа над северной частью моря проследовала ложбина северного циклона. Ветер здесь усилился до 14 м/с, волнение возросло до 2 м, отмечались туманы.

Охотское море

В первой декаде погодные условия определялись активной циклонической деятельностью. Над акваторией моря перемещались циклоны, в том числе глубокие. Так, 1 числа над южной половиной моря со скоростью 40 км/ч на восток проследовал циклон, минимальное давление в его центре составляло 990 гПа. Максимальная скорость ветра в зоне циклона была 18–23 м/с, высота волн развивалась до 3–4 м, прошли дожди.

Вслед за этим циклоном 2 апреля прошёл неглубокий циклон с давлением в центре 1006 гПа. Следующий глубокий циклон вышел на юго-западную часть моря с Японского моря 3 апреля, в дальнейшем перемещался над Курильскими островами с минимальным давлением 985 гПа. Он вызвал усиление ветра до 20–25 м/с на юге моря, высоту волн до 3–4 м, сильные осадки. 4 апреля циклон переместился на северо-западную часть Тихого океана, его западная периферия продолжала оказывать влияние на погоду в Охотском море. Сохранялся сильный северо-западный ветер 15–20 м/с, высота волн достигала 4–5 м, продолжались осадки.

Следующий циклон проследовал над акваторией моря 7 апреля, минимальное давление в его центре составляло 992 гПа, скорость перемещения – 40 км/ч. Ветер в Охотском море усиливался до 13–18 м/с, волнение моря достигало 3 м. В течение 8–9 числа погодные условия определялись тыловой частью этого циклона: ветер был северо-западный

**Обзор гидрометеорологических процессов и оценки текущего состояния
дальневосточных морей за 2015 год
Синоптический обзор**

12–17 м/с, высота волн 2–3 м. 10 апреля на Охотское море переместилась область высокого давления, 11 апреля погодные условия также находились под влиянием поля высокого давления. 12–13 апреля над акваторией моря в восточном направлении со скоростью 30 км/ч проследовал неглубокий циклон. Он перемещался с районов Хабаровского края на южную Камчатку, давление в центре составляло 1010 гПа. Циклон был неглубокий, но в южной части моря создались напряженные барические градиенты за счёт антициклона, который перемещался южнее Курильских островов. Скорость ветра на юге моря была 15–20 м/с, высота волн – 4–5 м.

Следующий циклон со скоростью 50 км/ч с давлением в центре 998 гПа прошёл 14 апреля над южной половиной моря. Он вышел на юг Камчатки 15 апреля, обусловив в Охотском море ветра до 10–15 м/с, высоту волн до 2 м, осадки.

С 15 по 17 апреля над морем располагался гребень колымского антициклона, максимальное давление в центре которого было 1026 гПа. Над северной половиной моря поле высокого давления сохранялось до конца декады, а над южной частью моря в конце декады перемещался циклон с давлением в центре 1006 гПа. Он вышел с Японского моря, 20 числа переместился на акваторию Тихого океана. Максимальный ветер в конце второй декады отмечался на юге моря – 13–18 м/с, высота волн составляла 2–3 м.

В третьей декаде над Охотским морем наблюдалась активная циклоническая деятельность. 21–22 апреля со скоростью 40–50 км/ч проследовал глубокий циклон с давлением в центре 976 гПа. Он вызвал усиление ветра до 20–25 м/с, волнение моря 3–4 м, сильные осадки. 23 числа циклон, перевалив Камчатку, вышел на акваторию Берингова моря.

23–24 апреля над акваторией моря со скоростью 40 км/ч перемещался гребень тихоокеанского антициклона. 24 апреля следующий глубокий циклон с Хабаровского края через Татарский пролив вышел на северо-восточную часть Охотского моря, где заполнился 25 числа. Минимальное давление в центре циклона составляло 992 гПа. Скорость ветра в зоне циклона в Охотском море была 15–20 м/с, высота волн – 3–4 м, прошли осадки.

26 апреля наблюдался ещё один циклон с давлением в центре 996 гПа. Он также вышел с Хабаровского края, смещался на восток со скоростью 30 км/ч без развития. 27 апреля циклон заполнился в районе северных Курил.

Следующий циклон с давлением в центре 1000 гПа вышел 27 апреля на южную часть моря. Перемещаясь на восток со скоростью 50 км/ч, 28 числа покинул акваторию Охотского моря через Северные Курилы.

Над южной половиной моря 28–29 апреля наблюдалось поле высокого давления, скорость смещения отдельных антициклонов составляла 30 км/ч. 30 числа с запада к Охотскому морю подошёл глубокий циклон, в западной части моря усилился южный ветер до 15–18 м/с, высота волн составила 2 м, начались дожди.

Берингово море

Над Беринговым морем в первой декаде преобладала активная циклоническая деятельность.

В начале первой декады над морем со скоростью 40 км/ч проследовал гребень тихоокеанского антициклона. На западную часть моря 1 апреля начал оказывать влияние циклон, который приближался со стороны Курильской гряды. Циклон вышел в район Командор 2 апреля и здесь заполнился 4 апреля. Максимальная скорость ветра составила 18–23 м/с, высота волн – 3–4 м, прошли осадки. 3 апреля на центральную часть моря с Тихого океана вышел следующий циклон. Он превратился в высокое барическое

**Обзор гидрометеорологических процессов и оценки текущего состояния
дальневосточных морей за 2015 год
Синоптический обзор**

образование, углубился до 996 гПа, перемещался в северо-восточном направлении со скоростью 30 км/ч, 5 числа вышел на Аляску.

Следующий циклон, который перемещался над акваторией Берингова моря со скоростью 50 км/ч с 5 по 9 апреля с минимальным давлением в центре 980 гПа, вызвал штормовой ветер до 25–28 м/с, волнение моря развивалось до 5–6 м, прошли сильные осадки. Заключительный циклон вышел с Охотского моря, смещаясь в восточном направлении со скоростью 30 км/ч, углубился до 976 гПа. Максимальная скорость ветра в области этого циклона составляла 25–30 м/с, высота волн – до 5–6 м, прошли сильные осадки. 10 апреля циклон вышел на Аляску.

В начале второй декады погодные условия Берингова моря определялись западной периферией глубокого обширного циклона, который накануне вышел на Аляску. На всей акватории моря наблюдался северо-западный ветер 13–18 м/с, высота волн составляла 3–4 м, местами отмечались снежные заряды.

13 числа циклон над Аляской заполнился, ветер над Беринговым морем стих, но 14 апреля циклон, который проследовал южнее центральных и восточных Алеутских островов, обусловил на юге моря усиление ветра до 15–20 м/с, волнение моря до 3–4 м, осадки.

15–16 апреля над акваторией моря прошёл гребень тихоокеанского антициклона. В течение 16–19 апреля погодные условия формировались под влиянием северной периферии глубокого циклона, который перемещался над Тихим океаном вблизи Алеутских островов со скоростью 50–60 км/ч, минимальное давление в его центре составляло 980 гПа. Максимальная скорость ветра отмечалась на востоке моря 18–19 числа, ветер усиливался до 20–25 м/с, высота волн развивалась до 4–5 м. На остальной акватории ветер был 13–18 м/с, высота волн – до 3–4 м. 20 апреля циклон вышел в северную часть моря и начал заполняться. Заполнился 22 апреля, оставаясь на севере моря.

На западную часть моря 22 апреля вышел глубокий циклон с Охотского моря. Он смещался на восток со скоростью 20 км/ч, вызвал усиление ветра до 22–27 м/с, высоту волн 4–5 м, сильные осадки. Минимальное давление в центре циклона составило 974 гПа. 25 апреля, существенно заполнившись (до 992 гПа), он находился над Бристольским заливом. В тылу циклона с 24 по 26 апреля над акваторией моря в восточном направлении перемещался гребень тихоокеанского антициклона, формируя антициклональный тип погоды.

25 апреля на западную часть моря начал оказывать влияние следующий циклон, находящийся над Охотским морем. 25–26 числа на западе моря усилился до 13–18 м/с южный ветер, волнение моря возросло до 3–4 м, прошли осадки.

27 апреля на центральную часть моря с Тихого океана вышел циклон с давлением в центре 996 гПа. Вслед ему 28 апреля к центральной части Алеутской гряды подошёл следующий циклон, который объединился с первым вихрем. Общая область низкого давления с минимальным давлением 988 гПа перемещалась над Беринговым морем со скоростью 50 км/ч; 30 числа находилась над восточной частью Алеутских островов, замедлив скорость смещения до 30 км/ч, началось ее заполнение. Максимальная скорость ветра в Беринговом море во второй половине декады составила 15–20 м/с, высота волн – 3–4 м, временами шли дожди.

**Обзор гидрометеорологических процессов и оценки текущего состояния
дальневосточных морей за 2015 год
Синоптический обзор**

Май

Японское море

В начале месяца над Японским морем наблюдалось поле повышенного давления. 4 мая на центральную часть моря с юга вышел циклон с давлением в центре 1000 гПа. Углубляясь, он перемещался на северо-восток со скоростью 30 км/ч, находился над Татарским проливом 5 мая с давлением в центре 984 гПа. Циклон определил усиление ветра до 10–15 м/с в северной части моря, волнение до 2 м, дожди. Он оказывал влияние на погодные условия северной части моря до 7 числа, а на южную половину моря распространилось поле высокого давления. 8 мая над северной частью моря прошёл неглубокий циклон с давлением в центре 1006 гПа, без изменения давления он перемещался со скоростью 40–50 км/ч на восток.

Следующий циклон с давлением в центре 1010 гПа со скоростью 40 км/ч прошёл над центральной частью моря 9 мая. 10 мая с районов Китая на акваторию моря переместился антициклон с давлением в центре 1022 гПа, определяя антициклональный тип погоды.

В течение второй декады преобладала циклоническая деятельность. В самом начале декады, 11 мая, над акваторией моря проследовал антициклон. Он перемещался с районов северной Кореи в юго-восточном направлении со скоростью 40 км/ч. 12 мая с Китая приблизился глубокий обширный циклон, центр которого с давлением 982 гПа остановился на западной границе Приморского края. Ложбина этого циклона с фронтальным разделом прошла над акваторией моря 14 мая, вызвав усиление ветра до 15–20 м/с, высоту волн 3–4 м, дожди, туманы.

После непродолжительного тыла 15 мая на акваторию Японского моря с районов северной Кореи вышел следующий циклон с минимальным давлением в центре 1006 гПа. Смещаясь на восток со скоростью 15–20 км/ч, 16 мая циклон перевалил через Японию и вышел на акваторию Тихого океана. Скорость ветра с этим процессом не превышала 9–14 м/с, высота волн составляла 1–2 м, прошли небольшие дожди.

С 16 по 17 мая над южной половиной моря перемещался антициклон с давлением в центре 1014 гПа.

19 мая на акваторию моря с Китая переместилась депрессия, которая оказывала влияние на погоду Японского моря до конца декады. Скорость ветра не превышала 8–13 м/с, высота волн была менее 2 м, отмечались дожди и местами туманы.

В течение третьей декады циклоническая деятельность в Японском море отмечалась преимущественно в северной половине моря. Здесь перемещались ложбины циклонов, следующие севернее, над Хабаровским краем. Наиболее глубокие ложбины с фронтальными разделами проследовали 22–23 мая и в конце декады, 30 мая. Скорость ветра в эти дни была 9–14 м/с, высота волн 1–2 м, прошли дожди, местами с грозами. Над южной половиной моря сохранялось поле повышенного давления.

26–28 мая поле высокого давления, которое переместилось с районов Китая, распространилось на всю акваторию Японского моря. Давление в ядрах составляло 1012 гПа, скорость перемещения – 20–30 км/ч. Местами отмечались туманы.

Охотское море

1 мая над морем в восточном направлении со скоростью 40 км/ч проследовал циклон с давлением в центре 992 гПа. Он вызвал усиление ветра до 13–18 м/с, высоту волн 2–3 м, осадки. В течение 2–4 мая над Охотским морем перемещался гребень тихоокеанского антициклона, в его северной части образовалось самостоятельное ядро с давлением 1024 гПа.

**Обзор гидрометеорологических процессов и оценки текущего состояния
дальневосточных морей за 2015 год
Синоптический обзор**

С 5 мая началось влияние глубокого циклона, который вышел на Татарский пролив. В период 5–6 мая отмечался южный ветер 15–20 м/с, волнение моря развивалось до 3–4 м, наблюдались туманы, осадки. На акваторию Охотского моря циклон вышел 7 числа с давлением в центре 998 гПа. 8 мая циклон заполнился над северной частью моря.

В течение 9–10 мая над северной половиной моря со скоростью 20 км/ч перемещался циклон, он вышел с районов Якутии. Минимальное давление в его центре составляло 994 гПа, максимальная скорость ветра на акватории моря была 9–14 м/с, высота волн – до 2 м, прошли осадки.

В начале второй декады, 11 числа, над северной половиной Охотского моря располагался малоподвижный циклон с минимальным давлением в центре 990 гПа. 12 мая циклон вышел на полуостров Камчатка и заполнился. На акваторию моря с севера распространилась область высокого давления, в области которой на севере моря образовался антициклон с давлением в центре 1016 гПа. Ядро перемещалось в южном направлении со скоростью 20 км/ч, постепенно разрушалось, 15 мая вышло на акваторию Тихого океана.

17 мая на южную часть Охотского моря с районов Японского моря переместилась многоцентровая область низкого давления. Один циклон располагался над южным Сахалином с давлением в центре 994 гПа, он заполнился 17 мая. Другой циклон с давлением в центре 990 гПа со скоростью 20 км/ч проследовал над Курилам, 19 числа заполнился в районе северных Курил. Максимальная скорость ветра в южной половине моря в эти дни была 9–14 м/с, высота волн – 1–2 м.

На северную часть Охотского моря с Колымы 18 числа скатилось ядро, которое, усиливаясь, перемещалось на юг со скоростью 20 км/ч. Максимальное давление в центре антициклона было 1018 гПа. 19 мая антициклон переместился на акваторию Тихого океана. На западную часть моря 20 мая с районов Татарского пролива переместился циклон с давлением в центре 994 гПа. Он обусловил усиление ветра на акватории моря до 8–13 м/с, высоту волн 1–2 м, дожди.

В течение третьей декады над акваторией моря отмечалась активная циклоническая деятельность. 21 мая над акваторией моря проследовала область низкого давления с циклоном с минимальным давлением 992 гПа. Скорость ветра, вызванная циклоном, составила 8–13 м/с, волнение моря было менее 2 м.

Следующий циклон вышел на Охотское море 23 мая. Смещаясь на восток со скоростью 20–30 км/ч, 25 мая циклон вышел в район северных Курил, углубился до 986 гПа и вечером переместился на акваторию Тихого океана. Скорость ветра на юге моря достигала 12–17 м/с, высота волн – 2–3 м, прошли дожди. 26–27 числа над морем наблюдалось поле высокого давления. В конце декады, 28 числа, на западную часть моря с районов Якутии вышла депрессия с давлением в центре 1002 гПа. Депрессия перемещалась на восток со скоростью 20 км/ч, 29 числа заполнилась. Существенного усиления ветра в эти дни не наблюдалось.

В конце декады, 30 числа, на Сахалин с Хабаровского края переместился обширный циклон с давлением в центре 988 гПа. Он, медленно заполняясь, сохранял своё местоположение в районе северного Сахалина до конца декады. Скорость ветра в конце декады на севере моря достигала 12–17 м/с, высота волн – до 2–3 м, прошли осадки.

В течение всей декады наблюдались туманы.

**Обзор гидрометеорологических процессов и оценки текущего состояния
дальневосточных морей за 2015 год
Синоптический обзор**

Берингово море

В начале месяца над Беринговым морем наблюдалось малоградиентное поле пониженного давления с неглубоким циклоном на севере моря, с давлением в центре 1012 гПа.

В период с 3 по 6 мая на погодные условия оказывал влияние глубокий обширный циклон, который перемещался со скоростью 30 км/ч южнее Алеутской гряды. Наибольшей глубины циклон достиг 5 мая – 986 гПа. Максимальная скорость ветра на акватории моря в эти дни достигала 20–25 м/с, высота волн развивалась до 5–6 м, прошли сильные осадки.

7 мая влияние циклона прекратилось, на акваторию моря с севера распространилось поле высокого давления с максимальным давлением 1022 гПа. Гребень проследовал над морем в восточном направлении со скоростью 30–40 км/ч, 9 числа он вышел на Бристольский залив.

9 мая с Охотского моря переместилась область низкого давления, 10 мая с Тихого океана на восточную часть моря вышел циклон. Последний перемещался на север, северо-восток со скоростью 40 км/ч. В конце декады скорость ветра на акватории моря составляла 12–17 м/с, высота волн – 2–3 м, отмечались осадки.

В начале второй декады над Беринговым морем располагалось малоградиентное поле повышенного давления, но 13 мая с юга на центральную часть Алеутских островов вышел глубокий циклон с давлением в центре 976 гПа. Превратившись в малоподвижную депрессию с двумя центрами, циклон медленно перемещался, заполняясь, над акваторией Берингова моря в северном направлении. Он заполнился в районе Берингова пролива 17 числа.

Над восточной половиной моря 16–18 мая перемещался другой циклон с минимальным давлением в центре 986 гПа. 19 мая он вышел в район Анадырского залива. На западную часть Берингова моря с Охотского моря в конце декады переместился гребень тихоокеанского антициклона. Максимальная скорость ветра в зоне циклонов составляла 20–25 м/с, волнение моря – до 4–5 м, прошли осадки.

В третьей декаде над Беринговым морем отмечался активный циклогенез. С Тихого океана на акваторию моря выходили глубокие циклоны. 22 мая, после прохождения над акваторией моря гребня тихоокеанского антициклона (21 мая), к Командорским островам с юго-запада приблизился глубокий циклон с давлением в центре 972 гПа. Он вышел на западную часть моря 23 числа, углубился до 968 гПа, затем, превратившись в малоподвижное барическое образование, начал заполняться. Заполнился 25 мая над восточной частью моря.

Следующий циклон вновь подошёл к Командорским островам 26 мая. Превратившись в высокое барическое образование, он заполнялся, 28 числа прекратил своё существование. Минимальное давление в его центре составляло 980 гПа. Последний циклон декады вышел на акваторию Берингова моря 29 мая с давлением в центре 982 гПа. Циклон, заполняясь, перемещался на север, северо-запад со скоростью 20–30 км/ч, 31 числа окончательно заполнился вблизи Камчатки. Максимальная скорость ветра, вызванная циклонами, составляла 22–27 м/с (22 мая), высота волн достигала 4–5 м, местами отмечался туман, временами выпадали интенсивные осадки.

**Обзор гидрометеорологических процессов и оценки текущего состояния
дальневосточных морей за 2015 год
Синоптический обзор**

Июнь

Японское море

В первых числах месяца над Японским морем преобладало поле пониженного давления. 1–2 июня на северную часть моря оказывал влияние циклон, который вышел на южную часть Татарского пролива 2 числа. Над северной частью моря он вызвал усиление ветра до 9–14 м/с, высота волн развивалась до 2 м, прошли небольшие дожди. Следующий циклон вышел на центральную часть Японского моря 3 июня. Углубляясь, он перемещался в восточном, северо-восточном направлении со скоростью 30 км/ч, 4 июня находился над проливом Лаперуза. Максимальная скорость ветра на акватории моря составляла 13–18 м/с, высота волн – до 2–3 м, отмечались дожди.

С 5 по 8 июня над акваторией моря располагалось поле повышенного давления, а 9 числа на северную часть с районов Приморского края переместилась область низкого давления с частным циклоном глубиной 1000 гПа. Скорость ветра в конце декады составляла 9–14 м/с, высота волн развивалась до 1–1,5 м, отмечались дожди.

В течение первой декады на акватории моря местами отмечались туманы.

Во второй декаде активного циклогенеза над Японским морем не наблюдалось, преобладало поле повышенного давления. В начале декады на центральную часть моря с Корейского полуострова вышел неглубокий циклон. Он перемещался в северо-восточном направлении со скоростью 40 км/ч в течение 12–13 июня с минимальным давлением в центре 1002 гПа.

14–15 числа над северной частью моря сохранялось поле пониженного давления. 16 июня оно сменилось гребнем охотоморского антициклона, который определял погодные условия до конца декады. Над южной половиной моря также преобладало поле повышенного давления, и только в конце декады (19 июня) здесь проследовала ложбина циклона, который перемещался южнее Японских островов.

Скорость ветра в течение второй декады не превышала 8–13 м/с, высота волн была менее 2 м. Местами отмечались туманы.

В первую половину третьей декады над акваторией Японского моря наблюдалось антициклональное поле. Давление в ядрах составляло 1012–1016 гПа. Скорость ветра не превышала 8–13 м/с, волнение моря – в пределах 0,5–1 м, отмечались густые туманы.

26 июня на южную часть моря вышел глубокий циклон с давлением в центре 988 гПа. Он проследовал в восточном, юго-восточном направлении со скоростью 20–30 км/ч без изменения давления, вызвал усиление ветра до 20–25 м/с, высоту волн 3–4 м, сильные дожди. 28 числа циклон через остров Хонсю переместился на акваторию Тихого океана. Вслед за циклоном над Японским морем со скоростью 20 км/ч проследовала область высокого давления с максимальным давлением 1012 гПа.

В конце месяца, 30 июня, на северную половину моря с районов Приморского края переместился холодный фронт. Он вызвал значительный дождь, порывистый ветер до 9–14 м/с, волнение моря до 1,5 м. Туманы сохранялись на протяжении всей декады.

Охотское море

В самом начале месяца над Курильскими островами проследовал глубокий циклон с минимальным давлением в центре 972 гПа, скорость перемещения составляла 40 км/ч. В Охотском море циклон вызвал усиление ветра до 15–20 м/с, высоту волн 3–4 м, сильные осадки.

**Обзор гидрометеорологических процессов и оценки текущего состояния
дальневосточных морей за 2015 год
Синоптический обзор**

2–3 июня над морем наблюдалось поле повышенного давления. Следующий циклон пришел с Японского моря 4 июня, минимальное давление в его центре составляло 986 гПа. Превратившись в высокое барическое образование, циклон, медленно заполнялся, перемещался на восток со скоростью 20–30 км/ч, 6 числа вышел на акваторию Тихого океана. Скорость ветра, вызванная этим циклоном, также составляла 15–20 м/с, высота волн достигала 3–4 м, прошли осадки. Над северной частью моря в эти дни располагалось поле повышенного давления, а 6 июня на западную часть Охотского моря с северных районов Хабаровского края переместился антициклон с давлением в центре 1016 гПа. В последующие дни поле высокого давления распространилось на всю акваторию моря и сохранялось почти до конца декады.

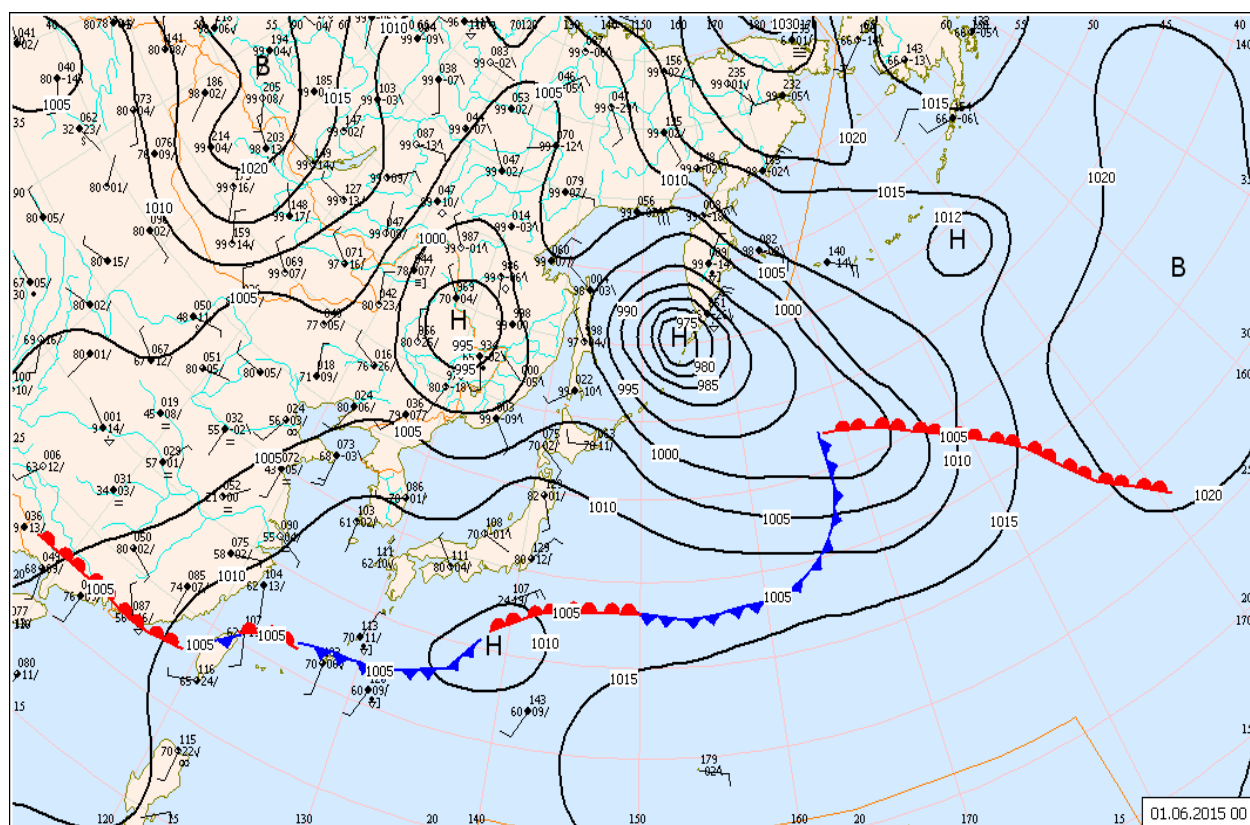


Рис. 1-4 Приземная карта за 00 ВСУ 1 июня 2015 г.

Над Охотским морем во второй декаде преобладала циклоническая деятельность. Так, в самом начале декады, 11 июня, погодные условия формировались под влиянием глубокого циклона (с давлением в центре 988 гПа), который со скоростью 20–30 км/ч перемещался над Тихим океаном вблизи Курильских островов. Он определил усиление ветра до 15–18 м/с в южной части моря, волнение моря развивались до 2–3 м, прошли дожди. В это же время над северной половиной моря в восточном направлении проследовал неглубокий циклон с давлением в центре 1000 гПа.

Следующий циклон вышел на север Охотского моря с Якутии 13 июня с давлением в центре 996 гПа. Циклон быстро заполнился и в виде ложбины сохранял своё местоположение на северо-востоке моря до 14 июня. Над южной половиной моря в эти дни перемещался гребень тихоокеанского антициклона.

В середине декады над акваторией моря возросли барические градиенты за счёт наличия поля высокого давления к востоку от Камчатки и обширной области низкого давления вблизи западного побережья моря. Скорость южного ветра над Охотским морем возросла до 10–15 м/с, высота волн в северной части моря увеличилась до 2–3 м.

**Обзор гидрометеорологических процессов и оценки текущего состояния
дальневосточных морей за 2015 год
Синоптический обзор**

18 июня влияние гребня прекратилось, депрессия, заполнившись, вышла на центральную часть Охотского моря, давление в ее центре составляло 1010 гПа. Ветер ослабел до 5–10 м/с, волнение море улеглось до 0,5–1,5 м, прошли дожди.

В начале третьей декады над центральной частью Охотского моря располагалась малоподвижная неглубокая депрессия с давлением в центре 1006 гПа. 23 июня она переместилась к Курильским островам, оставалась в этом районе до 27 числа, не вызывая значительного ухудшения погодных условий. Над остальной акваторией моря сохранялось поле высокого давления. 25 июня над Сахалином образовался антициклон, в последующие дни он медленно перемещался в южном направлении (со скоростью около 10 км/ч) и 29 числа через центральную часть Курильской гряды вышел на акваторию Тихого океана. Максимальное давление в центре антициклона отмечалось 26 июня, составляло 1020 гПа. Поле высокого давления над акваторией моря сохранялось до конца месяца. Скорость ветра не превышала 8–13 м/с, высота волн – до 1 м.

На протяжении всего месяца над морем сохранялись туманы.

Берингово море

На южную часть Берингова моря в начале месяца оказывал влияние циклон, который перемещался над Тихим океаном вблизи Алеутских островов. 5 июня циклон переместился в район Аляскинского залива. Скорость ветра, вызванная циклоном, составляла 10–15 м/с, высота волн развивалась до 2–3 м, прошли осадки. На западную часть моря 3 июня распространился гребень чукотского антициклона, в области которого образовалось самостоятельное ядро с давлением в центре 1024 гПа. Смещаясь на юго-восток со скоростью 20 км/ч, 5 июня антициклон переместился на акваторию Тихого океана, но его гребень сохранял влияние на погоду в Беринговом море. Гребень перемещался в восточном направлении со скоростью 30 км/ч и 7 числа находился над Бристольским заливом.

С 7 июня на южную часть моря оказывал влияние циклон, который также перемещался над Тихим океаном южнее Алеутских островов со скоростью 50–60 км/ч. 9 июня через восточную часть Алеутских островов он вышел на юг Бристольского залива с давлением в центре 990 гПа. Скорость ветра в Беринговом море при прохождении циклона не превышала 9–14 м/с, волнение моря было менее 2 м, на юге моря прошли дожди.

В течение первой декады часто отмечались туманы.

Во второй декаде над Беринговым морем преобладала антициклональная циркуляция. В начале декады в Тихом океане южнее Алеутских островов со скоростью 30–40 км/ч перемещался мощный антициклон с давлением в центре 1035 гПа. Наличие антициклона в Тихом океане и области низкого давления над Чукоткой послужило образованию напряжённых барических градиентов над Беринговым морем. Скорость ветра 11–12 июня была 15–18 м/с.

13 июня на западную часть моря переместилась область низкого давления. Один из циклонов вышел с Охотского моря с давлением в центре 998 гПа. Другой, более глубокий с давлением в центре 992 гПа, подошел к Командорским островам с юга. В результате взаимодействия этих барических объектов барические градиенты над восточной половиной моря ещё более усилились, 14 июня здесь отмечалось усиление ветра до 15–20 м/с и волнение моря 3–4 м.

Депрессия заполнилась 16 числа, сохраняя своё местоположение над западной частью моря. Вслед за этим с северо-востока на всю акваторию моря распространился гребень антициклона, который начал медленно (10 км/ч) перемещаться над северной частью моря, перемещался с Аляски на запад в сторону Камчатки. Максимальное давление в центре

**Обзор гидрометеорологических процессов и оценки текущего состояния
дальневосточных морей за 2015 год
Синоптический обзор**

антициклона составляло 1036 гПа. Антициклон сохранялся, разрушаясь, до конца декады, обуславливая на всей акватории моря ветер не более 8–13 м/с, высоту волн около 1 м, на юге моря до 2 м, туманы.

В течение третьей декады над Беринговым морем, по-прежнему, наблюдалось поле высокого давления. В начале декады антициклон располагался над северо-западной частью моря. 22 июня он разрушился, а на восточную часть моря с Аляски переместилось ядро с давлением в центре 1018 гПа. 23 числа над центральной частью Берингова моря образовался ещё один антициклональный вихрь, который, усиливаясь, перемещался на юг со скоростью 20 км/ч, 27 числа через центральную часть Алеутской гряды вышел на акваторию Тихого океана с давлением в центре 1026 гПа. В гребне этого антициклона, который охватывал всю акваторию моря, 29 числа образовался самостоятельный малоподвижный антициклон с центром над восточной частью Берингова моря с давлением в центре 1016 гПа. Он сохранялся до конца месяца.

Скорость ветра в течение третьей декады не превышала 7–12 м/с, высота волн – до 1 м, наблюдались туманы.

Июль

Японское море

В начале месяца над Японским морем преобладала циклоническая деятельность. На центральную часть моря с Китая 1 июля вышла депрессия с давлением в центре 990 гПа. Она перемещалась на восток со скоростью 20–30 км/ч без существенного изменения давления. Над южной половиной моря в это время со скоростью 50 км/ч смещался циклон с давлением в центре 988 гПа. Депрессия покинула акваторию моря 3 июля, южный циклон перестал оказывать влияние на погодные условия Японского моря 2 июля. Скорость ветра в эти дни на акватории Японского моря составляла 9–14 м/с, высота волн – 1–2 м, прошли дожди.

4 июля с районов Китая вышел антициклон, максимальное давление в его центре составляло 1014 гПа. Антициклон оставался над центральной частью моря до 7 июля. В тылу циклона, который прошел над северной частью моря 7 июля (с давлением в центре 1000 гПа, скорость смещения 40 км/ч), с Охотского моря на северную половину Японского моря распространилось ядро с давлением в центре 1018 гПа. Ядро медленно, со скоростью 10 км/ч, до конца декады перемещалось в южном направлении без существенного изменения давления.

В конце первой декады над северной частью моря в восточном направлении проследовала ложбина, ориентированная с Охотского моря. Скорость ветра во второй половине декады была 7–12 м/с, высота волн – 0,5–1,5 м, отмечались туманы.

11 июля над морем наблюдалось поле повышенного давления. С 12 июля на погодные условия начал оказывать влияние тайфун ШАН НОМ, который 13 числа прошёл над Корейским полуостровом, над северной частью полуострова был с давлением в центре 986 гПа. Затем, пройдя над Владивостоком, заполняясь, перемещался над Приморским краем на север со скоростью 20 км/ч. 15 июля он окончательно заполнился на юге Хабаровского края. Циклон тропического происхождения вызвал в Японском море ветер до 20–25 м/с, в прибрежных районах порывы ветра достигали 30 м/с, волнение моря развивалось до 4 м, прошли сильные дожди.

На волне полярного фронта над северной частью моря 14 июля углубился циклон до 996 гПа. Перемещаясь со скоростью 40 км/ч, 15 числа он вышел на южную часть Охотского моря. В тыл циклону 15 июля на северную половину Японского моря с Китая распространилось поле высокого давления, а на юге началось влияние следующего тайфуна,

**Обзор гидрометеорологических процессов и оценки текущего состояния
дальневосточных морей за 2015 год
Синоптический обзор**

который приближался к Японии с юга. 17 июля тайфун с давлением в центре 975 гПа вышел на юг о. Хонсю. Максимальный ветер – 32 м/с, отмечался вблизи центра тайфуна, радиус штормового ветра (25 м/с) составлял 100 км. Интенсивно заполняясь, тайфун двигался в северном направлении со скоростью 10 км/ч. Он заполнился 19 числа над центральной частью Японского моря. Скорость ветра на юге моря, обусловленная выходом тайфуна, достигала 20–25 м/с, волнение моря развивалось до 3–4 м, прошли сильные дожди.

В конце второй декады, 19–20 числа, над большей частью моря установилось поле высокого давления. Наблюдались туманы.

В начале третьей декады над Японским морем наблюдалось малоградиентное поле повышенного давления со стационарным фронтальным разделом над центральной частью моря. 26 июля на северную часть моря началось влияние депрессии, которая приближалась с Китая. На крайнюю южную часть моря 27 числа вышла тропическая депрессия, бывший тайфун HALOLA, с давлением в центре 1006 гПа, которая здесь же в течение 6 часов окончательно заполнилась. 31 июля над акваторией моря проследовала ложбина циклона, который перемещался над Хабаровским краем.

В течение третьей декады скорость ветра не превышала 7–12 м/с, высота волн была 1–1,5 м, временами отмечались туман, небольшие дожди, на юге моря в середине декады сильные.

Охотское море

В начале месяца над большей частью акватории Охотского моря наблюдалось поле повышенного давления. На западную часть моря, в район Сахалина, вышла неглубокая депрессия с давлением в центре 1002 гПа, которая медленно (около 10 км/ч) перемещалась на восток, юго-восток. 6 числа она заполнилась над центральной частью моря. По югу моря в восточном направлении со скоростью 40 км/ч проходили циклоны: 3–4 июля и 7–8 числа с давлением в центрах около 1000 гПа.

5 июля на севере моря образовался самостоятельный антициклон с давлением в центре 1016 гПа. Антициклон медленно, со скоростью 10–20 км/ч, перемещался на юго-запад, 7 числа вышел на Хабаровский край, на Охотское море с востока распространилась западная периферия алеутской депрессии. Наиболее свежие ветры на акватории моря отмечались в конце декады, скорость ветра в эти дни составляла 9–14 м/с, высота волн – от 1 до 2 м, наиболее сильное волнение (до 2 м) сформировалось на юге моря. В течение первой декады временами отмечались дожди и туманы.

Во второй декаде июля над Охотским морем активного циклогенеза не отмечалось.

Депрессия с давлением в центре 1002 гПа 11 июля находилась над севером Сахалина, перемещалась на юго-восток со скоростью 20 км/ч, 12 числа через центральную часть Курильской гряды вышла на акваторию Тихого океана. Вслед за ней над северной половиной моря установилось поле высокого давления. Максимальное давление в антициклоне над северной половиной моря отмечалось 14 июля, составляло 1014 гПа.

С 14 июля на южную половину моря начал оказывать влияние циклон, приближавшийся с Японского моря. 15 числа он вышел на юго-запад моря с давлением в центре 996 гПа, превратился в высокое барическое образование, замедлил движение и начал заполняться. Он заполнился 17 июля. На северную половину моря с Якутии переместился еще один неглубокий циклон с давлением в центре 1002 гПа, он также заполнился 17 числа. В это же время южнее Курил на волне полярного фронта углубился циклон. Он перемещался в северо-восточном направлении со скоростью 40 км/ч, существенного усиления ветра не вызвал. В последние дни декады над морем преобладало поле повышенного давления.

**Обзор гидрометеорологических процессов и оценки текущего состояния
дальневосточных морей за 2015 год
Синоптический обзор**

В течение второй декады скорость ветра не превышала 8–13 м/с, высота волн была преимущественно менее 2 м, отмечались туманы.

В начале третьей декады над Охотским морем превалировало поле пониженного давления. Над прибрежными районами Колымы со скоростью 30 км/ч перемещался циклон с давлением в центре 996 гПа, его ложбина перемещалась над акваторией Охотского моря. Над южными Курилами 23 июля в восточном направлении со скоростью 30 км/ч проследовала неглубокая депрессия с давлением в центре 1004 гПа.

25 числа в районе Командорских островов образовался антициклон с давлением в центре 1020 гПа, гребень антициклона распространился на восточную часть Охотского моря, 26–27 числа охватил всю акваторию моря. Приближающаяся с Хабаровского края депрессия оттеснила гребень на восток и 30 числа вышла на Сахалин с давлением в центре 1004 гПа, где сохраняла своё местоположение до конца декады.

Максимальная скорость ветра отмечалась во второй половине декады – 9–14 м/с, высота волн составляла 1–2 м, наблюдались туманы, временами небольшие дожди.

Берингово море

1 июля мощность антициклона с давлением в центре 1020 гПа располагался над Бристольским заливом. Алеутская депрессия находилась над Тихим океаном вблизи Алеутских островов.

Наиболее сильный ветер в первую половину первой декады отмечался на юге моря – 9–14 м/с, высота волн в районе Алеутских островов достигала 2–3 м.

Перемещаясь на северо-восток вблизи Алеутских островов, 5 июля депрессия вышла на восточную часть Берингова моря, затем начала перемещаться над акваторией моря в западном направлении со скоростью 20 км/ч, в конце первой декады находилась над центральной частью моря с давлением в центре 984 гПа. Максимальный ветер в эти дни достигал 12–17 м/с, высота волн развивалась до 2–3 м, временами шли дожди, наблюдался туман.

В начале второй декады над центральной частью моря располагалась обширная высокая депрессия с давлением в центре 992 гПа. Она перемещалась на восток со скоростью 20 км/ч без существенного изменения давления, 13 июля вышла на акваторию Бристольского залива. Скорость ветра в зоне депрессии составляла 8–13 м/с, высота волн была до 1,5 м, на крайнем юге – до 2 м, местами шли дожди, отмечался туман.

15 июля над западной половиной моря в юго-восточном направлении со скоростью 20 км/ч проследовал антициклон, он вышел с Охотского моря. Над Тихим океаном антициклон усилился; перемещался на восток со скоростью 30–40 км/ч. Этот антициклон и поле низкого давления над северными районами моря и Чукоткой способствовали образованию над восточной половиной Берингова моря повышенных барических градиентов, что обусловило усиление ветра до 9–14 м/с, высоту волн – до 2 м.

Вслед за антициклоном 15–16 июля вблизи центральной и восточной частей Алеутских островов над Тихим океаном со скоростью 50 км/ч прошёл циклон. давление в его центре составляло 990 гПа. На юге моря он вызвал ветер 8–13 м/с, высоту волн до 1,5 м.

18 июля к Командорским островам вышел циклон с давлением в центре 988 гПа. В этом районе циклон уменьшил скорость смещения с 40 км/ч до 10 км/ч и начал заполняться. Ветер в Беринговом море в конце второй декады усилился до 15–20 м/с, высота волн развилась до 3–4 м, прошли дожди, временами отмечался туман.

**Обзор гидрометеорологических процессов и оценки текущего состояния
дальневосточных морей за 2015 год
Синоптический обзор**

В начале третьей декады над Беринговым морем наблюдалась циклоническая деятельность. Первая депрессия прошла над акваторией моря со скоростью 20 км/ч 22–23 июля, минимальное давление в её центре составляло 996 гПа. Вторая депрессия вышла с северных районов Камчатки 23 числа, перемещалась над акваторией моря со скоростью 20–30 км/ч, 26 июля была над Аляской.

Затем на акваторию Берингова моря с юга распространилось поле высокого давления. 25 июля вблизи Командорских островов образовался антициклон с давлением в центре 1020 гПа. Он перемещался на восток, юго-восток со скоростью 20 км/ч, усиливался, 28 числа вышел на акваторию океана в район 40° с. ш., 170° в. д. Этот антициклон и депрессия над Чукоткой во второй половине декады образовали над акваторией Берингова моря напряженные барические градиенты. Поле повышенного давления над Беринговым морем сохранялось до 30 числа и только на западе моря в самом конце месяца сказывалось влияние циклона, который 30 июля находился южнее Алеутской гряды с давлением в центре 1002 гПа.

Скорость ветра в течение третьей декады не превышала 9–14 м/с, максимальная высота волн составляла 1–2 м. Отмечались туманы, временами небольшие дожди.

Август

Японское море

В самом начале месяца, 1 августа, над северной частью Японского моря проследовала ложбина с фронтальным разделом (циклон перемещался севернее), в тыл которой с Китая распространилось высокое давление. С 3 числа началось влияние обширной области низкого давления, которая приближалась с запада. Глубокий циклон смещался вдоль 50 широты со скоростью 10–20 км/ч, его передняя часть с фронтальным разделом распространилась на акваторию моря. 6 августа ложбина, значительно заполнившись, вышла на акваторию Тихого океана. Скорость ветра в первой половине декады составляла 8–13 м/с, высота волн развивалась до 1,5 м, отмечались туманы, местами дожди.

7–9 августа над морем наблюдался гребень охотоморского антициклона. В конце декады он значительно разрушился, и на северную часть моря вышел неглубокий циклон с фронтальным разделом. Ветры во второй половине декады не превышали 3–8 м/с, высота волн была менее 1 м, сохранялись туманы, местами небольшие дожди.

В течение второй декады над северной половиной моря располагался гребень охотоморского антициклона, на юге моря отмечался циклогенез.

Один из циклонов в течение 12–14 августа со скоростью 20 км/ч проследовал вдоль южного побережья моря. Минимальное давление в центре циклона составляло 1000 гПа, 15 августа он заполнился вблизи острова Хонсю.

Другой циклон 17 августа вышел на Японское море с юга через Корейский пролив, перемещался в северо-восточном направлении со скоростью 30 км/ч, углубился до 1000 гПа, в районе Сангарского пролива 18 августа перевалил через Японию в Тихий океан. Этот циклон вызвал в Японском море усиление ветра до 15–20 м/с, высоту волн до 3,5 м, дожди.

Вслед за циклоном на центральную часть моря с Кореи переместилось ядро с давлением в центре 1016 гПа, которое перемещалось на восток со скоростью 20 км/ч, 20 августа вышло на акваторию Тихого океана.

В начале третьей декады над Японским морем наблюдалось поле пониженного давления. Один из циклонов с давлением в центре 1000 гПа 21 августа вышел на южную часть моря, проследовал в северо-восточном направлении со скоростью 40 км/ч, в конце

**Обзор гидрометеорологических процессов и оценки текущего состояния
дальневосточных морей за 2015 год
Синоптический обзор**

суток 22 августа находился над о. Хонсю. Скорость ветра, вызванная циклоном, составляла 8–13 м/с, высота волн – 1–1,5 м, прошли небольшие дожди.

В период 23–24 августа на большую часть моря распространился гребень северного антициклона. 25 августа началось влияние тайфуна GONI, он вышел на юг Японского моря с давлением в центре 965 гПа. Максимальный ветер вблизи центра тайфуна в этот момент составлял 35 м/с порывами до 50 м/с, радиус ветра 25 м/с по данным РМЦ Токио составлял 120 км, к северо-востоку от центра – 180 км, радиус ветра 15 м/с составлял 500 км. Тайфун перемещался на север со скоростью 30–35 км/ч, заполнялся. 27 августа он вышел на юг Приморского края с давлением в центре 990 гПа, вызвав на акватории Японского моря усиление ветра до 28–33 м/с, высоту волн 5–6 м, сильные дожди при видимости 1–2 км. Затем циклон с территории Приморского края переместился на северо-восточный Китай, где, оставаясь малоподвижным, просуществовал до конца декады. На Японское море в это время с северо-востока распространился гребень охотоморского антициклона. Скорость ветра на акватории моря в конце декады не превышала 9–14 м/с, высота волн составляла 1–2 м, временами шли дожди, отмечались туманы.

Охотское море

В начале месяца над Охотским морем отмечалась циклоническая деятельность. 1 августа депрессия со скоростью 20 км/ч перемещалась от Сахалина на восток, 2 числа углубилась до 996 гПа, 3 августа начала смещаться на юго-восток, вышла на акваторию Тихого океана.

5 августа над южной половиной моря проследовал циклон с давлением в центре 998 гПа, на северную половину акватории с Берингова моря распространился гребень, в области которого образовалось самостоятельное ядро с давлением в центре 1020 гПа. В последующие дни антициклон усилился, увеличился по площади, охватив всю акваторию моря, и начал перемещаться в южном направлении со скоростью 10–20 км/ч. 8 числа он вышел на акваторию океана, его гребень сохранял влияние на погодные условия Охотского моря до конца декады.

Максимальная скорость ветра в течение первой декады была 8–13 м/с, высота волн – до 2 м, местами отмечались туманы и дожди.

Во второй декаде августа над Охотским морем преобладало поле повышенного давления, только на севере отмечалось прохождение ложбин циклонов, которые перемещались над Чукоткой в период 11–12 августа и над Колымой в период 13–14 числа. Скорость ветра на севере моря не превышала 7–12 м/с, высота волн была менее 2 м.

Над южной половиной моря в самом начале второй декады располагался малоподвижный антициклон с давлением в центре 1012 гПа. Постепенно усиливаясь, антициклон перемещался на юго-восток, 15 числа через Курилы вышел на акваторию Тихого океана с давлением в центре 1016 гПа.

Следующий антициклон 16 августа вышел на северную часть Охотского моря с Колымы с давлением в центре 1020 гПа. Медленно, со скоростью 10–20 км/ч, он перемещался в юго-восточном направлении, 19 числа вышел в Тихий океан с давлением в центре 1022 гПа.

В начале третьей декады над большей частью Охотского моря наблюдался барический гребень, направленный с Берингова моря, а на крайнем юге находилась малоподвижная депрессия с давлением в центре 1006 гПа, заполнившаяся 22 числа.

23 августа поле высокого давления распространилось на всю акваторию моря. С 24 августа давление начало понижаться из-за циклона, который вышел к восточному

**Обзор гидрометеорологических процессов и оценки текущего состояния
дальневосточных морей за 2015 год
Синоптический обзор**

побережью Камчатки. Еще один циклон 25 августа углублялся на крайнем северо-западе моря. Северный циклон с давлением в центре 1006 гПа начал смещаться на юго-восток со скоростью 20–30 км/ч, 26 числа он заполнился. Скорость ветра на акватории моря в этот период не превышала 9–14 м/с, высота волн составляла 1–2 м.

27 августа с Колымы на акваторию моря переместился антициклон с давлением в центре 1026 гПа. Медленно смещаясь в южном направлении со скоростью около 10 км/ч и постепенно разрушаясь, антициклон 29 числа через южные Курилы вышел на акваторию океана. В конце декады, начиная с 28 числа, на восточную часть моря началось влияние западной периферии глубокого циклона, который вышел к мысу Лопатка. Скорость ветра в конце декады на юго-востоке моря выросла до 15–18 м/с, высота волн увеличилась до 2–3 м, прошли дожди.

В течение второй и третьей декад местами отмечались туманы.

Берингово море

В начале первой декады над центральной частью Берингова моря находился мощный малоподвижный антициклон с максимальным давлением в центре 1028 гПа. Он медленно перемещался на запад (со скоростью 5–10 км/ч) и постепенно разрушался, 7 августа прекратил свое существование, а на южную часть моря со стороны Алеутских островов вышел циклон с давлением в центре 996 гПа. Превратившись в малоподвижную депрессию, циклон медленно перемещался над акваторией моря в северо-восточном направлении, 10 числа ушёл на Аляску.

Наибольшая скорость ветра отмечалась во второй половине декады и составляла 9–14 м/с, высота волн – до 2 м. Отмечались туманы, во второй половине декады местами прошли дожди.

11–12 августа над морем сформировались повышенные барические градиенты, образовавшиеся между депрессией, расположенной над Чукоткой, и северной периферией тихоокеанского антициклона. Скорость ветра составляла 8–13 м/с, высота волн – 1–2 м, отмечались туманы. 12 августа гребень антициклона переместился на восточную половину моря. 14 августа на западную часть акватории с районов Колымы вышла депрессия с давлением в центре 1004 гПа. Депрессия перемещалась на восток со скоростью 20–30 км/ч, 17 числа вышла на Бристольский залив.

В середине второй декады, 16 августа, на западную часть моря с Охотского моря вышел антициклон с давлением в центре 1022 гПа. До конца декады он медленно перемещался вдоль Алеутских островов, усилился до 1026 гПа, оставался на юге моря до конца декады. На северную часть моря 19 числа с Колымы вышел циклон с давлением в центре 1010 гПа. Он до конца декады перемещался в восточном направлении со скоростью 30 км/ч. Скорость ветра, вызванная этим циклоном, составляла 9–14 м/с, волнение моря развивалось до 2–2,5 м, прошли дожди.

21 августа по северу Берингова моря со скоростью 30 км/ч проследовал неглубокий циклон с давлением в центре 1014 гПа, на большую часть акватории моря оказывал влияние мощный обширный антициклон с максимальным давлением в центре 1034 гПа. Антициклон перемещался со скоростью 20 км/ч в восточном направлении вблизи Алеутских островов.

На погодные условия западной части моря с 23 августа влиял циклон, который подошёл с юга и 24 числа вышел на западную часть моря с давлением в центре 992 гПа. 26 августа циклон находился у побережья Чукотки с давлением в центре 988 гПа, 27 числа вышел на Аляску. Глубокий циклон в западной части моря и антициклон на востоке послужили образованию напряженных барических градиентов над центральной частью

**Обзор гидрометеорологических процессов и оценки текущего состояния
дальневосточных морей за 2015 год
Синоптический обзор**

Берингова моря, что обусловило усиление южного ветра до 18–23 м/с, высота волн развилась до 3–4 м, на западе моря шли дожди.

В конце третьей декады, начиная с 27 числа, на востоке моря сохранялось поле высокого давления, а на западную часть моря оказывал влияние следующий циклон, который приближался с юга к Командорским островам. Скорость ветра составляла 13–18 м/с, высота волн – 2–3 м, местами шли дожди.

В течение третьей декады местами отмечались туманы.

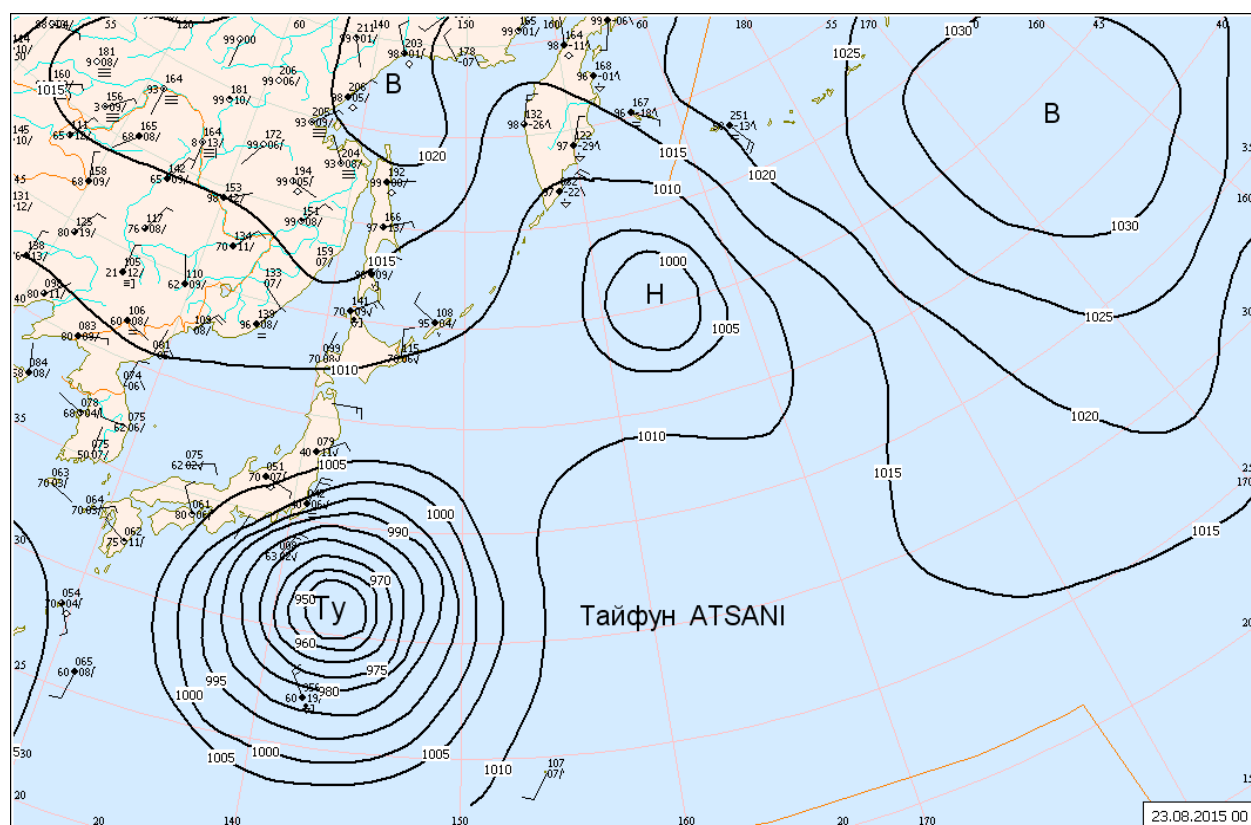


Рис. 1-5 Приземная карта за 00 ВСУВ 23 августа 2015 г.

**Сентябрь
Японское море**

В начале месяца над Японским морем преобладал циклогенез. В период 2–3 сентября над южной половиной моря со скоростью 30–40 км/ч перемещался неглубокий циклон с давлением 1004 гПа. Поскольку в средней тропосфере над Японским морем располагалась малоподвижная глубокая ложбина, в приземном слое поддерживалось пониженное давление с неглубокими циклонами. Так, 4 сентября над центральной частью моря образовался циклон с давлением в центре 1008 гПа. Он начал смещаться на северо-восток и углубляться, в этот же день вышел в район Сангарского пролива с давлением в центре 1002 гПа. В тыл циклону с районов Кореи переместился антициклон с давлением в центре 1014 гПа. Поле высокого давления над большей частью акватории наблюдалось до 7 числа, над северной частью моря – до 9 сентября.

Начиная с 7 сентября, на южную часть моря оказывал влияние циклон, который перемещался над южными островами Японии со скоростью 40 км/ч; затем – тайфун ЕТАУ, который в конце суток 9 сентября вышел на юг Японского моря с давлением в центре 998 гПа и максимальной скоростью ветра 25 м/с. 10 сентября, перемещаясь со скоростью

**Обзор гидрометеорологических процессов и оценки текущего состояния
дальневосточных морей за 2015 год
Синоптический обзор**

20 км/ч на север, циклон тропического происхождения находился над центральной частью моря с давлением в центре 1000 гПа. Максимальная скорость ветра в море, вызванная тайфуном, составляла 24–30 м/с, волнение моря развивалось до 4–5 м, прошли сильные дожди.

В течение первой декады местами отмечались туманы.

Тайфун ЕТАУ продолжал перемещаться на север, северо-восток со скоростью 20–30 км и заполняться. 12 сентября он находился над Татарским проливом, а над южной половиной моря со скоростью 40 км/ч перемещался волновой циклон с давлением в центре 1008 гПа. С 13 сентября акватория моря была занята высоким давлением. Давление в ядрах составляло 1024 гПа, они перемещались на восток со скоростью 10–20 км/ч.

Во второй половине декады, 17 сентября, на южные острова Японии и южную часть моря вышла область низкого давления. Один центр смещался над Японскими островами, другой с давлением 1010 гПа – над южной частью моря. Медленно перемещаясь в северном направлении вдоль побережья Японии, циклоническая система 20 сентября находилась над Хоккайдо. На западную часть моря с Кореи в это время распространился антициклон с давлением в центре 1014 гПа.

В начале третьей декады над Японским морем превалировало поле высокого давления. Над южной частью моря медленно, со скоростью 10 км/ч, проследовал антициклон с давлением в центре 1020 гПа. 24 сентября антициклон покинул акваторию моря, а к западному побережью с Китая подошла обширная область низкого давления. Депрессия вышла на Приморский край 25 числа, но низкое давление распространилось на всю акваторию Японского моря за счёт циклогенеза над островами Японии. 26 сентября циклон с территории Приморского края ушёл на Хабаровский край, его ложбина располагалась над северной частью моря ещё в течение 27–28 сентября. Существенного ухудшения погодных условий не произошло. Ветер был 7–12 м/с, высота волн – до 1–1,5 м, местами отмечались небольшие дожди.

С приближением мощного антициклона с Китая над восточной половиной моря 29 числа сформировались повышенные барические градиенты, вызвавшие усиление ветра до 9–14 м/с, волнение моря развивалось до 2–2,5 м. Антициклон вышел на центральную часть моря 30 сентября с давлением в центре 1028 гПа.

Охотское море

Над Охотским морем большую часть первой декады отмечался циклогенез. Этому способствовала высотная депрессия, которая вышла на акваторию моря в начале декады. 1 сентября Охотское море находилось под влиянием барической ложбины, направленной с востока, с Берингова моря, а 2 числа на акваторию моря с севера Хабаровского края вышел неглубокий циклон. Последний перемещался над центральной частью моря со скоростью 30 км/ч, углублялся, заполнился 4 сентября у берегов Камчатки. На южную часть моря с Сангарского пролива 4 сентября переместился циклон с давлением в центре 1000 гПа. Перемещаясь вдоль Курильских островов на северо-восток со скоростью 30 км/ч, он приблизился к Камчатке, где начал заполняться и перемещаться на север, северо-запад, 8 сентября прекратил своё существование.

8 сентября в области гребня тихоокеанского антициклона вблизи центральной части Курильской гряды образовалось самостоятельное ядро с давлением в центре 1020 гПа, которое начало перемещаться на восток на акваторию Тихого океана. На центральную часть моря 8 числа с Татарского пролива через Сахалин вышел следующий циклон с давлением в центре 1016 гПа. Перемещаясь на восток, он заполнился 9 сентября. Ему в тыл на всю

**Обзор гидрометеорологических процессов и оценки текущего состояния
дальневосточных морей за 2015 год
Синоптический обзор**

акваторию моря распространился антициклон с давлением в центре 1039 гПа. Антициклон подошел с запада 9 сентября, вечером 10 числа он через центральные Курилы переместился в Тихий океан.

Ветер на акватории Охотского моря в первой декаде не превышал 9–14 м/с, высота волн составляла 1–2 м, местами отмечались туманы.

В самом начале второй декады погодные условия над Охотским морем формировал барический гребень, антициклон располагался над Курилами. На юго-западе моря сказывалось влияние тайфун KIRO, который со скоростью 50 км/ч подходил с юга. 12 сентября он вышел на акваторию моря с давлением в центре 984 гПа, максимальная скорость ветра составляла 25–30 м/с, высота волн – 5–6 м, прошёл сильный дождь. Продолжая смещаться на север со скоростью 50 км/ч и заполняться, бывший тайфун 13 числа вышел на Колыму с давлением в центре 992 гПа, вызвав на всей акватории моря ветер 15–18 м/с, высоту волн 2–3 м, дожди.

13 сентября с Татарского пролива на западную часть моря вышел неглубокий циклон с давлением в центре 998 гПа и сразу же заполнился. Поле пониженного давления над морем сохранялось до 14 сентября. В середине декады, 15 сентября, на акваторию моря с севера переместился антициклон с давлением в центре 1024 гПа. Он смещался на юг, усилившись до 1026 гПа, 18 числа покинул акваторию моря. В районе Курильских островов неглубокий малоподвижный циклон с давлением в центре 1014 гПа наблюдался 16–17 числа, влиял на погодные условия прилегающей части Охотского моря.

Скорость ветра в середине и во второй половине декады не превышала 9–14 м/с, высота волн была в пределах 1–2 м.

20 сентября к южным Курилам вышел циклон с давлением в центре 1006 гПа, он находился в этом районе в течение суток. 21 сентября на центральную часть моря с Хабаровского края вышел следующий неглубокий циклон с давлением в центре 1004 гПа. Он перемещался на северо-восток со скоростью 40 км/ч, не меняя интенсивности, 22 числа переместился на Колыму. Циклон вызвал ветер 9–14 м/с, высоту волн 2–2,5 м, небольшие осадки.

24 сентября с запада на акваторию Охотского моря вышел антициклон с давлением в центре 1020 гПа. Над акваторией моря он перемещался в южном направлении со скоростью 10–20 км/ч, 26 числа через Курилы вышел на акваторию океана. На западную часть моря в этот период началось влияние депрессии, которая приближалась с Хабаровского края. Она вышла на акваторию моря 27 сентября с давлением в центре 1004 гПа. Углубившись до 996 гПа, депрессия медленно перемещалась на восток, 30 числа находилась над северными Курилами. Скорость ветра на акватории Охотского моря в зоне депрессии составляла 15–20 м/с, высота волн развивалась до 3–4 м. На северо-западе моря 28 сентября ветер усиливался до 25–28 м/с, высота волн развивалась до 5–6 м. На западе моря вблизи Сахалина 30 сентября ветер усилился до 20–25 м/с, высота волн также выросла до 5–6 м. Временами выпадали осадки.

Берингово море

В первой декаде над Беринговым морем также отмечалась циклоническая деятельность. В начале декады над западной частью моря стационарировала депрессия. 4 сентября она начала медленно заполняться, перемещаясь на северо-восток, 6 числа заполнилась у берегов Аляски.

7 сентября на западную часть моря вышел следующий циклон с давлением в центре 998 гПа. Он медленно перемещался на восток, заполнился над центральной частью моря.

**Обзор гидрометеорологических процессов и оценки текущего состояния
дальневосточных морей за 2015 год
Синоптический обзор**

Другой циклон с давлением в центре 1006 гПа образовался 8 сентября на востоке моря, переместился на акваторию Бристольский залива. Максимальный ветер в этот период был 12–17 м/с, волнение моря составляло 2–3 м, временами наблюдались дожди.

В конце первой декады на западную часть моря оказывала влияние периферия охотоморского антициклона. Вследствие этого над центральной и восточной частями моря образовались значительные барические градиенты. Этому способствовала и депрессия на востоке моря. Скорость ветра 8–9 сентября составляла 15–18 м/с, высота волн – 2–3 м. В течение декады местами отмечались туманы.

В начале второй декады напряженные барические градиенты над Беринговым морем сохранялись. Они сформировались за счёт активного циклогенеза над Аляской и гребня антициклона, который перемещался южнее Камчатки. Скорость ветра на акватории моря составляла 13–18 м/с, высота волн достигала 2–3,5 м. Гребень переместился на юго-восток моря 12 сентября, на западную часть моря начала оказывать влияние депрессия, расположенная над Охотским морем и Колымой. В течение 13–14 сентября над морем вновь возросли барические градиенты, определившие усиление южного, юго-западного ветра до 15–20 м/с, волны развивались до 3–4 м.

В последующие дни циклон на севере Охотского моря заполнился, поле высокого давления переместилось в центральную часть Тихого океана. Скорость ветра в середине декады понизилась до 9–14 м/с, высота волн – до 2 м.

Во второй половине декады депрессия с Колымы переместилась на Аляску, на западную часть моря сместился гребень антициклона, центр которого находился над Колымой. 18 сентября антициклон вышел в район Командорских островов с давлением в центре 1024 гПа, поле высокого давления распространилось почти на всю акваторию моря. Лишь крайние восточные районы моря оставались под влиянием депрессии, расположенной над Аляской; ветры здесь были северной четверти 9–14 м/с, высота волн – 1–2 м.

В начале третьей декады погодные условия над Беринговым морем продолжал формировать антициклон. Он со скоростью 10–20 км/ч перемещался над Тихим океаном вблизи Алеутских островов, давление в его центре составляло 1036 гПа. Наиболее свежий ветер до 9–14 м/с в начале декады отмечался вблизи Камчатки на периферии циклона, который находился в Охотском море, и на севере моря 24 сентября при прохождении глубокого циклона вдоль 70-ой параллели. Высота волн развивалась до 2–3 м.

25 сентября антициклон ушёл на восток, и его влияние сохранилось только на востоке моря. На западную часть Берингова моря с юга распространилась ложбина южного циклона. В области ложбины развился самостоятельный неглубокий циклон, который вышел к Командорским островам с давлением в центре 1002 гПа. Затем циклон перемещался вдоль Алеутской гряды со скоростью 30 км/ч, углублялся, вышел на восточную часть моря и повернул на север, увеличил скорость перемещения до 40 км/ч. Продолжая углубляться, 28 сентября циклон вышел на Аляску с давлением в центре 990 гПа. Циклон вызвал усиление ветра до 15–20 м/с, волнение моря до 3–4 м, дожди.

В конце месяца, 28 сентября, в район Командорских островов с запада переместился антициклон. Он, усиливаясь, смещался вдоль Алеутских островов со скоростью 30 км/ч. 30 сентября находился в район 50° с. ш., 170° з. д. с давлением в центре 1028 гПа.

**Октябрь
Японское море**

**Обзор гидрометеорологических процессов и оценки текущего состояния
дальневосточных морей за 2015 год
Синоптический обзор**

В самом начале первой декады над акваторией Японского моря проследовал глубокий циклон тропического происхождения (бывший тайфун DUJUAN). 1 октября он вышел на южную часть моря, начал интенсивно углубляться, со скоростью 50–60 км/ч перемещался на север, северо-восток, 2 числа вышел на о. Сахалин с давлением в центре 946 гПа. Скорость ветра на акватории Японского моря, вызванная циклоном, составляла 32–37 м/с, волнение моря развивалось до 5–6 м, отмечался сильный дождь. В период 3–4 октября на северную часть моря оказывала влияние западная периферия циклона, скорость ветра была 12–17 м/с, высота волн 3 числа ещё составляла 4–5 м, 4 октября – 2–3 м.

4 октября на акваторию моря с районов Жёлтого моря вышел антициклон с давлением в центре 1026 гПа. Он проследовал на восток со скоростью 20 км/ч и 6 числа через острова Японии вышел в Тихий океан. 7 октября над Японским морем сохранялось поле высокого давления, 8 октября восточная часть моря находилась под влиянием тайфуна CHOI-WAN, который перемещался над Тихим океаном вблизи Японии. Скорость ветра на востоке моря составляла 15–20 м/с, высота волн возросла до 4 м, прошли дожди. Затем до конца декады над акваторией Японского моря располагалась ложбина этого циклона. Скорость ветра составляла 13–18 м/с, высота волн – от 2 до 3 м, временами отмечались дожди.

В начале второй декады на западную часть моря вышел циклон, который, интенсивно углубляясь, начал перемещаться в северо-восточном направлении со скоростью 40 км/ч, 12 октября вышел на акваторию Охотского моря с давлением в центре 984 гПа. В Японском море циклон вызвал сильный ветер 15–20 м/с, волнение моря 2,5–3,5 м, дожди. 13 числа над северной частью моря проследовала ложбина этого циклона с неглубоким частным циклоном с давлением в центре 1000 гПа. Ложбина сохраняла своё влияние на погоду в Японском море до 14 октября. Скорость ветра на севере моря была 10–15 м/с, высота волн – до 2 м. В тыл ложбине на центральную часть моря с Китая распространилась область высокого давления. Один из антициклонов с давлением в центре 1022 гПа перемещался в восточном, юго-восточном направлении со скоростью 10–20 км/ч, другой располагался над полуостровом Корея.

18 октября над северной половиной моря проследовала глубокая ложбина с фронтальным разделом, циклон располагался над Охотским морем. Скорость ветра составляла 13–18 м/с, высота волн 2–3 м, прошли дожди.

Вслед за ложбиной над центральной частью моря со скоростью 30 км/ч проследовал антициклон с давлением в центре 1022 гПа. В самом конце декады, 20 числа, над северной частью моря со скоростью 40 км/ч перемещалась ещё одна ложбина с неглубоким циклоном 1008 гПа, которая вызвала усиление ветра до 9–14 м/с, высоту волн до 2 м, небольшие дожди.

21–23 октября погодные условия Японского моря формировались под влиянием барического гребня, антициклон с давлением в центре 1032 гПа располагался над Монголией. Наблюдались умеренный ветер 6–11 м/с, волнение моря 1–2 м. 24 октября на Татарский пролив с Приамурья переместился циклон с давлением в центре 1000 гПа. В северной половине моря он обусловил усиление ветра южных румбов до 15–20 м/с, в Татарском проливе – до 25 м/с, волнение моря развивалось до 2–3 м, прошли дожди. Вечером 24 октября циклон переместился на юг Охотского моря, углубившись до 992 гПа. После прохождения холодного фронта в Японском море ветер перешел к северо-западному со скоростью 15–20 м/с, на севере моря – до 25 м/с, волнение возросло до 3–4 м. 25 октября циклон медленно смещался на восток над южной частью Охотского моря, углубился до 972 гПа. Японское море находилось под воздействием его тыловой части. Штормовая погода сохранялась в течение полутора суток.

**Обзор гидрометеорологических процессов и оценки текущего состояния
дальневосточных морей за 2015 год
Синоптический обзор**

26 октября через акваторию моря проследовал антициклон с давлением в центре 1026 гПа. Наблюдались умеренный ветер 6–11 м/с, волнение моря 1–2 м. 27 октября погодные условия формировала южная периферия циклона с давлением в центре 992 гПа. Он смещался с Забайкалья в район среднего течения Амура. В Японском море наблюдались южный, юго-западный ветер 15–20 м/с, волнение моря 2–3 м. Вечером 27 октября в ложбине амурского циклона над акваторией моря образовался молодой циклон с давлением в центре 1000 гПа. Последний, углубляясь, со скоростью 20–30 км/ч смещался на северо-восток и утром 28 октября вышел в Татарский пролив к южному побережью о. Сахалин. В течение следующих суток циклон продолжал углубляться, смещался на север со скоростью 20–30 км/ч, 29 октября находился над акваторией Охотского моря севернее Сахалина глубиной 984 гПа. Максимальная его глубина была 980 гПа. В Японском море циклон вызвал усиление северо-западного ветра до 18–23 м/с, волнение моря 2–3 м, на севере моря дожди. 30–31 октября циклон заполнялся над северо-западной частью Охотского моря. Японское море оставалось под воздействием его тыловой части. Здесь наблюдались северо-западный ветер 9–14 м/с, волнение моря до 2,5 м.

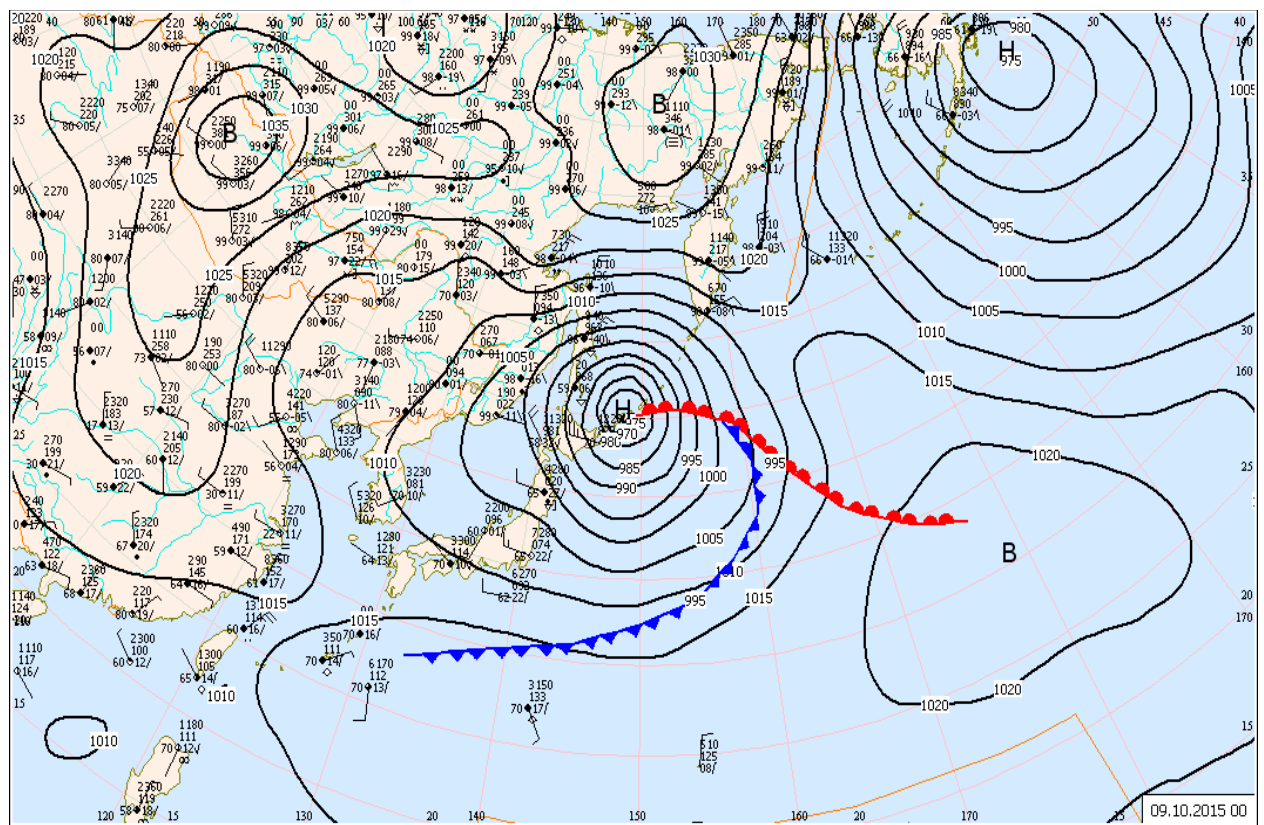


Рис. 1-6 Приземная карта за 00 ВСВ 9 октября 2015 г.

Охотское море

В начале первой декады погодные условия определялись циклоном тропического происхождения, который вышел на акваторию Охотского моря 2 октября с давлением в центре 950 гПа. Ураганный ветер достигал 30–35 м/с, волнение моря развивалось до 6–7 м, отмечались проливные дожди. Быстро заполняясь, циклон перемещался в восточном, северо-восточном направлении, 4 числа вышел на акваторию Берингова моря.

В течение 5–7 октября над Охотским морем наблюдалось поле высокого давления с ядром, которое со скоростью 10–20 км/ч перемещалось над южной частью моря. Давление в центре ядра составляло 1026 гПа.

**Обзор гидрометеорологических процессов и оценки текущего состояния
дальневосточных морей за 2015 год
Синоптический обзор**

9 октября на Охотское море вышел следующий тайфун – СНОI-WAN. Он трансформировался в циклон умеренных широт с давлением в центре 960 гПа. Максимальная скорость ветра на акватории Охотского моря составляла 28–33 м/с, высота волн достигала 5–6 м, циклон вызвал сильные дожди. 10 октября, заполняясь, циклон перемещался на северо-восток со скоростью 20 км/ч.

В течение второй декады над акваторией моря сохранялась активная циклоническая деятельность. Штормовая погода сохранялась в течение всей декады практически «без передышки».

11 октября над центральной частью моря располагался циклон с давлением в центре 994 гПа – «бывший» тайфун СНОI WAN, который в течение суток, заполняясь, смещался на северо-восток. На большей части акватории сохранялся сильный ветер 18–23 м/с, волнение моря достигало 4 м, отмечались дожди при видимости 2–4 км. 12 октября с акватории Японского моря вышел следующий циклон с давлением в центре 984 гПа. Он вызвал усиление ветра до штормового, 25 м/с, волнение моря до 4 м. В течение двух суток циклон, заполняясь, медленно смещался на север, северо-восток, 14 октября заполнился.

В это же время, 14 октября, на южную часть Охотского моря с Японского моря вышел следующий циклон с давлением в центре 992 гПа. В течение суток он, углубляясь, смещался со скоростью 30 км/ч на северо-восток, 15 октября вышел в северо-западную часть Тихого океана к востоку от мыса Лопатка. В течение 16–17 октября циклон, слабо заполняясь, медленно смещался на восток. Охотское море находилось под воздействием его тыловой части. На большей части акватории моря наблюдался северный ветер 18–23 м/с, волнение моря составляло 3–4 м, шли осадки, преимущественно в виде дождя.

18 октября на северную часть Охотского моря с Приамурья сместился циклон с давлением в центре 994 гПа. В течение суток он медленно смещался на север и заполнялся. В ложбине этого циклона на юго-западе моря образовался новый циклон с давлением в центре 996 гПа. Углубляясь, молодой циклон со скоростью 40 км/ч смещался на север, 19 октября вышел в район Магадана глубиной 976 гПа. Эти циклоны обусловили усиление ветра до 18–23 м/с, волнение моря 3–4 м, осадки преимущественно в виде дождя.

20 октября в Охотское море вышел еще один циклон с Приамурья с давлением в центре 1000 гПа. Он вызвал очередной шторм: ветер 18–23 м/с, волнение моря 2–3 м, дожди. 21 октября циклон с давлением в центре 988 гПа находился на севере моря. В течение суток он был малоподвижным, незначительно углублялся. В течение следующих двух суток циклон заполнялся, оставаясь малоподвижным на севере моря. На большей части акватории он вызвал сильный ветер 18–23 м/с, волнение моря 2–3 м. На севере моря волнение моря развивалось до 4–5 м, здесь отмечались снежные заряды с ухудшением видимости до 2–4 км.

24 октября циклон заполнился, а на юго-запад моря с акватории Японского моря вышел следующий углубляющийся циклон с давлением в центре 996 гПа. В течение 25–26 октября он, углубляясь, со скоростью 30 км/ч смещался на восток через южную часть моря, 26 октября вышел к северным Курилам глубиной 956 гПа. Затем циклон начал заполняться, смещаясь на восток со скоростью 30 км/ч, 27 октября вышел на акваторию Тихого океана с давлением в центре 980 гПа. В Охотском море циклон вызвал штормовой ветер 25–30 м/с, волнение моря до 8 м, осадки в виде дождя и мокрого снега, ухудшение видимости до 1–2 км. 27 октября на большей части акватории моря ветер ослабел, наблюдалась зыбь 3–4 м, на юге моря – до 5–6 м.

28 октября акватория моря оказалась под влиянием нового циклона с давлением в центре 992 гПа. Он смещался со стороны Японского моря со скоростью 20–30 км/ч через Татарский пролив на север, углублялся, 29 октября вышел к северной оконечности

**Обзор гидрометеорологических процессов и оценки текущего состояния
дальневосточных морей за 2015 год
Синоптический обзор**

о. Сахалин глубиной 984 гПа. 30–31 октября циклон заполнялся над северо-западной частью моря. В Охотском море он обусловил усиление ветра южных румбов до 18–23 м/с, волнение моря 3–4 м, на севере моря до 5 м, дожди.

Берингово море

В первой декаде в Беринговом море отмечалась активная циклоническая деятельность. На север моря в район Анадырского залива со скоростью 30–40 км/ч проследовала депрессия с давлением в центре 976 гПа. 4 октября депрессия, переместилась на Чукотку, значительно наполнившись и замедлив смещение.

В это же время, 4 октября, на западную часть моря вышел следующий циклон. Он также проследовал над северной частью моря со скоростью 30–40 км/ч, переместившись в район моря южнее Анадыря, приостановил движение, начал заполняться, медленно вращаться относительно высотного центра. Минимальное давление в его центре составило 984 гПа. 9 числа циклон наполнился.

В конце декады 9 октября на западную часть моря с севера распространился гребень колымского антициклона. Над центральной и восточной частями Берингова моря сформировались значительные барические градиенты. Этому способствовал глубокий циклон над Аляской. Скорость ветра в Беринговом море в течение декады составляла 13–18 м/с, в начале декады достигала 25 м/с, высота волн – 3–4 м, в начале декады на севере моря составляла 5–6 м, временами отмечались дожди.

11–12 октября погодные условия восточной части моря определялись тыловой частью глубокого циклона, расположенного над Аляской. В этой части моря наблюдались северо-восточный ветер 18–23 м/с, волнение моря 4–5 м, кратковременные дожди. Над западной половиной моря располагалось малоградиентное поле повышенного давления, ветер был умеренный 5–10 м/с, волнение моря – 1–2 м.

13 октября на юго-запад моря с северо-западной части Тихого океана вышел циклон с давлением в центре 986 гПа. В течение суток он медленно заполнялся, смещаясь по югу моря на восток, юго-восток со скоростью 30–40 км/ч, 14 октября вышел на акваторию северо-западной части Тихого океана, за пределы моря. На юге Берингова моря 13 октября циклон вызвал усиление ветра восточных румбов до 15–20 м/с, волнение моря до 3 м, дожди. В тыл циклону 14 октября на центральную часть моря с Колымы сместилось ядро антициклона с давлением в центре 1014 гПа.

15 октября к юго-западной границе Берингова моря с юга Охотского моря вышел циклон с давлением в центре 980 гПа. Передняя часть циклона формировала погодные условия над западной половиной моря. Здесь наблюдались юго-восточный ветер 18–23 м/с, волнение моря 3–4 м, дожди. В течение 16–18 октября циклон, слабо заполняясь, медленно (10–20 км/ч) смещался на восток, юго-восток. Большая часть акватории Берингова моря находилась под воздействием его северной периферии. Наблюдались восточный, северо-восточный ветер 15–20 м/с, волнение моря 3–4 м, дожди. 18 октября у точки окклюзии данного циклона к югу от Алеутских островов образовался новый циклон с давлением в центре 1002 гПа. В течение двух суток циклон углублялся, смещался на восток, северо-восток со скоростью 20 км/ч, 18 октября вышел на восток моря глубиной 984 гПа. 19–20 октября циклон оставался малоподвижным и заполнялся. Он вызвал усиление ветра до 15–18 м/с на востоке моря, волнение моря 2–3 м, дожди.

20 октября на запад акватории с северо-западной части Тихого океана вышел следующий циклон с давлением в центре 996 гПа, который обусловил усиление юго-восточного ветра, волнение моря 2–3 м, дожди.

**Обзор гидрометеорологических процессов и оценки текущего состояния
дальневосточных морей за 2015 год
Синоптический обзор**

21 октября погодные условия западной части Берингова моря определялись передней частью обширной многоцентровой циклонической системы, давление в области которой составляло 998–1000 гПа, расположенной над акваторией Охотского моря и северо-западной частью Тихого океана. Над восточной частью моря располагалась тыловая часть циклона, заполняющегося над заливом Аляска. На всей акватории наблюдались умеренный ветер 7–12 м/с, волнение моря 1–2 м, местами отмечались небольшие дожди при видимости 6–8 км.

22 октября южный циклон с давлением в центре 1000 гПа вышел к центральной части Алеутских островов, углубившись до 996 гПа. В течение двух суток он, незначительно углубляясь, смещался со скоростью 30 км/ч вдоль Алеутской гряды на восток, 24 октября вышел на акваторию Бристольского залива глубиной 992 гПа. 25 октября циклон заполнялся над восточной частью моря. На юге моря, вблизи Алеутских островов, и на востоке отмечалось усиление ветра до 15–18 м/с, волнение моря составляло 2–3 м, прошли небольшие дожди.

Наличие циклонов с давлением в центре 980 и 976 гПа над Тихим океаном и антициклона с давлением в центре 1024 гПа над Чукоткой в период 26–28 октября привело к образованию значительных барических градиентов над акваторией Берингова моря. Вследствие этого усилился до 18–23 м/с восточный, северо-восточный ветер, высота волн достигала 6 м. 29–30 октября циклоны сместились на восток на акваторию Аляскинского залива, антициклон через западную часть моря вышел на акваторию северо-западную часть Тихого океана. На востоке моря сохранялась штормовая погода – северо-восточный ветер 18–23 м/с, волнение моря 5–6 м. На западе моря ветер ослабел до 6–11 м/с, волнение уменьшилось до 1–2 м. 31 октября акватория моря находилась под воздействием гребня антициклона, давление в центре которого составляло 1030 гПа, расположенного над Тихим океаном. Наблюдались умеренный ветер 6–11 м/с, волнение моря 1–2 м.

**Ноябрь
Японское море**

В первой декаде над большей частью моря, кроме северных районов, наблюдалось поле высокого давления. Так, 1 ноября, над центральной частью со скоростью 20 км/ч в восточном направлении проследовал антициклон с давлением в центре 1028 гПа. Следующий антициклон вышел на Японское море 3 ноября, давление в его центре составляло 1030 гПа. Смещаясь на восток со скоростью 20 км/ч, антициклон покинул акваторию моря 4 ноября. В течение 6–7 числа над морем располагался гребень мощного антициклона, находящегося над Китаем.

Над северной частью моря перемещались ложбины циклонов, которые находились над Хабаровским краем. 2 ноября прохождение ложбины с фронтальной системой обусловило ветер 8–13 м/с, высоту волн до 2 м. В течение 4–5 ноября скорость ветра при прохождении следующей ложбины составила 13–18 м/с, высота волн развивалась до 2–3 м, отмечались осадки.

8–9 ноября с районов Жёлтого моря на южную часть моря вышел циклон с давлением в центре 1014 гПа. Смещаясь на северо-восток со скоростью 30 км/ч, он обусловил усиление ветра до 13–18 м/с, высоту волн 2–3 м, осадки.

В начале второй декады погодные условия Японского моря формировались под влиянием антициклона, который приближался с Китая. 12 ноября он вышел на центральную часть моря с давлением в центре 1036 гПа. Перемещаясь преимущественно на восток, антициклон покинул акваторию моря 13 ноября (вышел на Хоккайдо). Вслед за

**Обзор гидрометеорологических процессов и оценки текущего состояния
дальневосточных морей за 2015 год
Синоптический обзор**

антициклоном с запада подошла обширная область низкого давления. Один из циклонов переместился на Хабаровский край, другой вышел на Японское море с давлением в центре 1008 гПа, перемещался на северо-восток со скоростью 30–40 км/ч, 15 числа вышел на акваторию Тихого океана. Скорость ветра, вызванная циклонами, составляла 10–15 м/с, высота волн – 1–2 м, отмечались осадки.

16 числа над морем со скоростью 50 км/ч проследовал антициклон с давлением в центре 1022 гПа. 17 числа перемещалась ложбина с частным циклоном глубиной 1016 гПа, не вызвавшая существенного усиления ветра. Затем установилась зимняя муссонная циркуляция, прерванная 20 ноября циклоном с давлением в центре 1018 гПа. Он вышел накануне на центральную часть моря с Кореи.

Преобладающая скорость ветра во второй декаде ноября была 8–13 м/с, высота волн – 1–2 м.

В начале третьей декады над морем преобладала зимняя муссонная циркуляция. Скорость северного ветра составляла 9–14 м/с, высота волн была в пределах 1–2 м. 23 ноября активизировался циклогенез над южной частью Японских островов, и на юг моря вышел циклон с давлением в центре 1018 гПа. Циклон, углубляясь, со скоростью 20–30 км/ч перемещался на северо-восток, 24 числа вышел к Сангарскому проливу с давлением в центре 1010 гПа. Он вызвал усиление ветра до 13–18 м/с, высоту волн 2–3 м, осадки.

26 ноября через Корейский пролив на южную часть моря вышел следующий циклон с давлением в центре 1010 гПа. Интенсивно углубляясь, он перемещался на северо-восток со скоростью 40 км/ч, 27 числа подошёл к восточной границе моря с давлением в центре 988 гПа, затем переместился на акваторию Тихого океана. В Японском море циклон обусловил усиление ветра до 28–33 м/с, волнение моря до 6–7 м, сильные осадки. 28 ноября ветер ослабел до 15–20 м/с, волнение моря уменьшилось до 3–4 м.

30 ноября с районов Жёлтого моря на центральную часть Японского моря вышел ещё один циклон. Он перемещался в восточном направлении со скоростью 40 км/ч, углублялся и в конце суток покинул акваторию моря.

Охотское море

Над Охотским морем в течение первой декады отмечался активный циклогенез. С Хабаровского края на акваторию моря выходили циклоны. Так, 2 ноября циклон с давлением в центре 996 гПа проследовал над акваторией моря, вызвав усиление ветра до 9–14 м/с, высоту волн 1–2 м, осадки. Следующий циклон с давлением в центре 1002 гПа вышел на центральную часть моря 4 ноября. 5 числа вблизи Сахалина образовался новый циклон. Он перемещался на восток со скоростью 30 км/ч, вблизи побережья Камчатки циклоны объединились. Циклогенез в этом районе продолжался до 8 ноября. Скорость ветра в эти дни достигала 18–23 м/с, волнение моря развивалось до 4–5 м, прошли осадки при видимости 1–3 км.

9–10 ноября погодные условия над акваторией моря формировала тыловая часть алеутской депрессии. Скорость ветра составляла 12–17 м/с, высота волн – 2–3 м.

В начале второй декады над морем сложилась следующая синоптическая ситуация. На севере моря располагалась ложбина с частным циклоном, над южной половиной моря – поле высокого давления. Ядра с максимальным давлением 1038 гПа со скоростью 40 км/ч перемещались над Курильскими островами в восточном направлении.

16 ноября на Охотское море вышел обширный глубокий циклон с давлением в центре 988 гПа. Медленно перемещаясь на юго-восток и заполняясь, циклон окончательно заполнился 19 числа вблизи северных Курил. Максимальный ветер, вызванный циклоном,

**Обзор гидрометеорологических процессов и оценки текущего состояния
дальневосточных морей за 2015 год
Синоптический обзор**

составлял 22–27 м/с, высота волн – 5–6 м, видимость при снеге понижалась до нескольких кабельтовых.

В конце второй декады над акваторией моря наблюдалась ложбина, ориентированная с районов Берингова моря, а на юго-западную часть моря вышел частный неглубокий циклон с давлением в центре 1020 гПа.

В начале третьей декады на погодные условия Охотского моря оказывал влияние циклон, который перемещался над Тихим океаном вблизи Курильской гряды и вышел на акваторию Берингова моря с давлением в центре 968 гПа. Ветер в Охотском море был преимущественно северных направлений 12–17 м/с, высота волн – 2–3 м, отмечались снежные заряды.

Следующий циклон в период 24–25 ноября прошёл по траектории предыдущего циклона, в южной части Охотского моря вызвал ветер северной четверти 12–17 м/с, высоту волн 2–3 м, осадки. В конце декады погодные условия ухудшились с прохождением ещё одного циклона. 27 ноября он переместился на юго-западную часть Охотского моря с акватории Японского моря; углубившись до 980 гПа, вышел в Тихий океан, где 28 ноября объединился с южным циклоном. Скорость ветра на юге моря достигала 20–25 м/с, высота волн в юго-западной части моря была 4–5 м, прошёл сильный снег.

В конце месяца установился зимний муссон, погодные условия определялись западной периферией алеутской депрессии.

Берингово море

В самом начале месяца, 1 ноября, на западную часть моря с юга вышел глубокий циклон. Смещаясь на северо-восток со скоростью 40 км/ч, циклон углублялся, над центральной частью моря давление в его центре составляло 966 гПа. Выйдя в район Берингова пролива 3 ноября, циклон замедлил движение и начал заполняться. Максимальная скорость ветра в зоне циклона составляла 23–28 м/с, высота волн достигала 6–7 м, прошли сильные осадки.

Следующий циклон вышел на западную часть моря с Охотского моря 3 ноября. Перемещаясь на восток, северо-восток со скоростью 30 км/ч, циклон углубился до 984 гПа, вышел на акваторию Анадырского залива, где заполнился 5 ноября. Он обусловил усиление ветра до 15–20 м/с, волнение моря развивалось до 3–4 м.

Следующий циклон глубиной 968 гПа подошёл к центральной части Алеутской гряды 5 числа. Смещаясь со скоростью 60 км/ч, циклон вышел на восточную часть моря с давлением в центре 964 гПа, 6 ноября переместился в район Бристольского залива. Этот циклон на восточной половине акватории моря вызвал штормовой ветер 25–30 м/с, высоту волн 6–7 м, сильные осадки.

6 ноября с Охотского моря на западную часть Берингова моря переместилась депрессия, состоящая из двух центров. Циклоны смещались на восток, северо-восток со скоростью 30–40 км/ч, углублялись. 8 числа депрессию пополнил южный циклон, произошло интенсивное падение давления. 9 ноября циклоническая система находилась над северной частью моря с минимальным давлением 960 гПа, 10 числа переместилась на Аляску. Скорость ветра с этим процессом достигала 28–33 м/с, волнение моря развивалось до 6–7 м, прошли сильные осадки.

Во второй декаде над Беринговым морем сохранялась активная циклоническая деятельность. Циклон, находящийся над Беринговым проливом в конце первой декады, вышел на Аляску, а на восточную часть моря переместился следующий глубокий циклон. Последний перемещался на северо-восток со скоростью 60 км/ч, 12 числа находился над

**Обзор гидрометеорологических процессов и оценки текущего состояния
дальневосточных морей за 2015 год
Синоптический обзор**

Бристольским заливом. Скорость ветра в зоне циклонов достигала 23–28 м/с, волнение моря в восточной части моря развивалось до 5–6 м, прошли сильные осадки.

С 13 по 16 ноября над северной частью моря, углубляясь, со скоростью 30 км/ч перемещался циклон. 16 числа он вышел на Бристольский залив с давлением в центре 992 гПа. Циклон вызвал усиление ветра до 15–20 м/с, высоту волн 3–4 м, осадки. Вслед за циклоном распространился гребень тихоокеанского антициклона, он также перемещался в восточном направлении со скоростью 50 км/ч.

17 ноября на погоду Берингова моря оказывала влияние депрессия, расположенная над Охотским морем, позже она переместилась на западную часть Берингова моря. Усилил непогоду циклон, который 18 ноября подошел к Командорским островам с юго-запада, минимальное давление в его центре составляло 970 гПа. Циклоническая система перемещалась на восток, северо-восток со скоростью 50–60 км/ч и 20 числа вышла на Аляску с минимальным давлением 982 гПа. Скорость ветра в эти дни составляла 30–35 м/с, высота волн достигала 8 м, видимость при снегопаде была практически нулевой.

21 ноября погодные условия моря формировались под влиянием циклона, который вышел на Аляску накануне. Над центральной частью моря в северо-восточном направлении со скоростью 40 км/ч перемещался неглубокий частный циклон с давлением в центре 1010 гПа. Сильный ветер до 15–18 м/с наблюдался только на севере моря, высота волн – в пределах 2–3 м.

23 числа с Тихого океана к центральной части Алеутской гряды подошёл глубокий циклон. Он проследовал над Беринговым морем в северо-восточном направлении со скоростью 40 км/ч, минимальное давление в его центре составляло 966 гПа. Циклон вызвал ветер ураганной силы 30–35 м/с, высота волн развивалась до 7–8 м, видимость при снеге была нулевой. 25 ноября циклон ушел на акваторию Северного Ледовитого океана. Ему на смену 26 ноября к центральной части Алеутской гряды вышел следующий глубокий циклон, который проследовал вдоль островов на восток со скоростью 30 км/ч. Минимальное давление в центре циклона составляло 968 гПа. Скорость ветра, вызванная циклоном, достигала 23–28 м/с, высота волн на юге моря развивалась до 5–6 м, прошел снег.

В конце декады, 29–30 ноября, вдоль Алеутских островов со стороны Тихого океана прошёл еще один циклон с давлением 970 гПа. Ветер на юге моря усиливался до 18–23 м/с, высота волн возрастала до 4–5 м, шел снег.

Декабрь

Японское море

В самом начале месяца акваторию моря пересёк антициклон с давлением в центре 1030 гПа, скорость его смещения составляла 30 км/ч. Вслед за ним 2 декабря в район залива Петра Великого с Жёлтого моря вышел циклон с давлением в центре 1008 гПа. Углубляясь, он перемещался на северо-восток со скоростью 30 км/ч, 4 декабря был над Сахалином с давлением в центре 984 гПа, обусловив 4–5 декабря на акватории Японского моря сильный ветер до 20–25 м/с. Волнение моря развивалось до 6 м, отмечалось быстрое обледенение судов.

В период 6–7 декабря отмечалась зимняя муссонная циркуляция с северным ветром 8–13 м/с, высота волн составляла 1–2 м.

8 декабря с северо-восточных районов Китая подошёл антициклон с давлением в центре 1032 гПа. Смещаясь в юго-восточном направлении со скоростью 30 км/ч, антициклон 9 декабря вышел в район Токио без изменения давления.

**Обзор гидрометеорологических процессов и оценки текущего состояния
дальневосточных морей за 2015 год
Синоптический обзор**

Начало декады второй декады, 11 декабря, ознаменовалось прохождением глубокого циклона над южной частью Японских островов с минимальным давлением в центре 990 гПа. Циклон вызвал усиление ветра в Японском море до 15–20 м/с, высоту волн – 3–4 м, осадки.

Затем восстановилась зимняя муссонная циркуляция. 15–16 числа над акваторией моря проследовала неглубокая область низкого давления с минимальным давлением 1010 гПа. 17 декабря циклоническая система переместилась на акваторию Тихого океана и углубилась – в Японском море усилился северный ветер до 13–18 м/с, высота волн возросла до 2–3 м. В конце декады, 20 декабря, над акваторией моря со скоростью 30 км/ч в юго-восточном направлении проследовал антициклон с давлением в центре 1034 гПа, определяя антициклональный характер погоды.

21 декабря над Японским морем скоростью 30 км/ч в восточном, юго-восточном направлении проследовал неглубокий циклон с давлением в центре 1018 гПа, не вызвавший на акватории моря существенного усиления ветра. Вслед за циклоном 22 декабря с северо-восточного Китая на акваторию моря вышел антициклон с давлением в центре 1030 гПа. Он проследовал в восточном, юго-восточном направлении со скоростью 40 км/ч, 23 числа переместился на акваторию Тихого океана.

24 декабря на Японское море переместилась область низкого давления. Один из центров циклонической системы смещался южнее Японии, другой – над Хабаровским краем. Третий, неглубокий циклон с давлением 1016 гПа, перемещался со скоростью 20 км/ч над центральной частью моря. 25 декабря, когда область низкого давления вышла на северо-западную часть Тихого океана и углубилась, на акватории моря до 11–16 м/с усилился северный ветер, высота волн возросла до 2–3 м, прошли осадки.

Следующий циклон со скоростью 60 км/ч проследовал на восток над центральной частью моря 26 декабря, давление в его центре составляло 1008 гПа. Ещё один неглубокий циклон со скоростью 40 км/ч проследовал над южной частью моря 31 числа. Наиболее сильный ветер во второй половине декады отмечался 27 декабря, достигал 15–20 м/с, высота волн развивалась до 3–4 м. Циклоны сопровождалась выпадением снега.

Охотское море

В самом начале месяца, 1 декабря, над южной частью моря проследовал глубокий циклон. Минимальное давление в его центре составляло 986 гПа. Он обусловил штормовой ветер 23–28 м/с, волнение моря в южной половине моря до 6–7 м, сильный снег.

Следующий циклон начал оказывать влияние на погодные условия Охотского моря 3 декабря, перемещался с Татарского пролива. На западе моря отмечалось усиление южного ветра до 15–20 м/с, волнение моря возросло до 2–3 м, начался снег. 4 декабря циклон находился над акваторией Охотского моря, где и заполнился 5 декабря. Скорость ветра был 20–25 м/с, высота волн – 4–6 м.

Во второй половине декады над акваторией моря отмечалась муссонная циркуляция, ветер был северо-западный 12–17 м/с, высота волн – 2–3 м, отмечались непродолжительные снежные заряды. 10 декабря на северную часть моря с континента вышли неглубокие частные циклоны. Углубившись до 1004 гПа, они переместились к северным Курилам. Скорость ветра не превышала 8–13 м/с, высота волн была в пределах 1–2 м, сохранялись снежные заряды.

Во второй декаде Охотское море находилось под влиянием западной периферии алеутской депрессии. Порой в ложбине этой депрессии над акваторией моря возникали неглубокие частные циклоны. Например, 12 числа с давлением в центре 1004 гПа. Ветер

**Обзор гидрометеорологических процессов и оценки текущего состояния
дальневосточных морей за 2015 год
Синоптический обзор**

преобладал северных направлений 12–17 м/с, высота волн была в пределах 2–3 м, временами отмечались снежные заряды.

15 декабря над южной частью моря проследовал гребень тихоокеанского циклона. 16 декабря с Японского моря на юг Охотского вышла депрессия. Она перемещалась вблизи Курильских островов со скоростью 20–30 км/ч, углублялась, 18 числа через южную оконечность п-ва Камчатка перевалила в Тихий океан. Максимальная скорость ветра в Охотском море в эти дни составляла 22–27 м/с, волнение моря развивалось до 4–5 м, в южной части моря прошёл снег.

В начале третьей декады на погодные условия Охотского моря оказывала влияние западная периферия алеутской депрессии. Скорость северного ветра составляла 18–23 м/с, высота волн развивалась до 3–4 м, на юге моря до 5 м, отмечались снежные заряды. 24 декабря с Хабаровского края на север моря вышел циклон с давлением в центре 1002 гПа, где превратился в высокое малоподвижное образование. Циклон углубился до 988 гПа, а 27 числа объединился с южным циклоном, который 26 числа перевалил через северные Курилы и вышел в Охотское море. Давление в центре циклона 27 декабря понизилось до 968 гПа. Скорость ветра в эти дни достигала 25–30 м/с, высота волн составляла 5–6 м, отмечался снег при нулевой видимости.

Берингово море

В начале первой декады декабря на погодные условия Берингова моря оказывал влияние глубокий циклон, который накануне перемещался вдоль Алеутских островов, 1 декабря находился на юге Аляски. Южнее Анадыря располагался еще один малоподвижный неглубокий циклон с давлением 998 гПа. Ветер на востоке моря был северный 13–18 м/с, высота волн развивалась до 3–4 м.

3 декабря к центральной части Алеутской гряды подошел циклон с давлением в центре 956 гПа. Превратившись в высокое барическое образование, он медленно (со скоростью 20 км/ч) перемещался на восток, юго-восток, постепенно заполнялся, 5 числа вышел на залив Аляска. Максимальная скорость ветра, вызванная этим циклоном, отмечалась на юге моря и достигала 22–27 м/с, волнение моря развивалось до 6 м, прошёл снег.

Следующая область низкого давления перемещалась южнее Алеутских островов вдоль 50° с. ш. За счёт этого циклона, а также обширного антициклона над Колымой и Чукоткой, над акваторией Берингова моря сформировались напряженные барические градиенты. Скорость северо-восточного, северного ветра составляла 20–25 м/с, волнение моря развилось до 5–6 м. 8 декабря циклон переместился к восточной части Алеутских островов, давление в его центре составляло 964 гПа. Он продолжал оказывать влияние на погоду большей части моря. В этот период на западную часть моря с Охотского моря вышел неглубокий циклон с давлением в центре 1002 гПа, который 10 числа заполнился, не вызывая сильного ветра.

В самом начале второй декады погодные условия в Беринговом море формировались под влиянием циклона, который вышел с Охотского моря на северо-западную часть Берингова и циклона, находившегося над Бристольским заливом. Первый циклон перемещался на восток со скоростью 20 км/ч, 12 числа заполнился. Вторым циклоном 12 декабря с Бристольского залива переместился на Аляску.

13 декабря на центральную часть Берингова моря с юга вышел мощный циклон с минимальным давлением в центре 928 гПа. Циклон, постепенно заполняясь, перемещался в северном, северо-восточном направлении со скоростью 30 км/ч, вызывая на акватории моря

**Обзор гидрометеорологических процессов и оценки текущего состояния
дальневосточных морей за 2015 год
Синоптический обзор**

ураганный ветер 30–35 м/с, высоту волн 10–12 м, сильные осадки при нулевой видимости. 16 декабря циклон находился в районе Берингова пролива с давлением в центре 988 гПа.

Следующий глубокий циклон вышел к Командорским островам 18 декабря с давлением в центре 972 гПа. У точки окклюзии арктического фронта этого циклона образовался ещё один циклон, позже ставший основным. Последний начал перемещаться, углубляясь, на северо-восток со скоростью 30 км/ч, 20 декабря вышел на Аляску. Минимальное давление в центре этого циклона отмечалось утром 19 числа, составило 940 гПа. Скорость ветра в области циклона на акватории Берингова моря достигала 25–30 м/с, высота волн – 8–10 м, прошли сильные осадки при нулевой видимости.

20 декабря на акваторию моря с Охотского моря вышел следующий циклон. Он подошёл к Алюторскому заливу с давлением в центре 972 гПа, вызвав сильный ветер 15–20 м/с, высоту волн 3–4 м. На востоке моря волнение моря развивалось до 7–8 м.

В третьей декаде над Беринговым морем отмечался активный циклогенез. В самом начале декады над морем располагалась двухцентровая депрессия. Один циклон с давлением в центре 972 гПа располагался на западе моря, другой с давлением в центре 976 гПа находился над центральной частью Алеутских островов. Западный циклон медленно перемещался в юго-восточном направлении, заполнялся, 23 декабря вышел к центральной части Алеутских островов, где заполнился. Второй циклон перемещался на север, северо-восток, 23 числа вышел на Аляску. Минимальное давление в центрах обоих циклонов составило 970 гПа. Максимальная скорость ветра в Беринговом море была 22–27 м/с, волнение моря развивалось до 5–6 м, 22 числа достигало 7 м.

24 декабря с юга к акватории моря подошёл ещё один глубокий циклон. Перемещаясь на север со скоростью 20–30 км/ч и, углубляясь, 26 декабря он вышел на Бристольский залив с давлением в центре 954 гПа. Циклон обусловил на акватории моря ураганный ветер 30–35 м/с, высота волн достигала 7–8 м, видимость при снеге была нулевой.

К центральной части Алеутских островов 27 декабря с юга подошёл следующий циклон. Перемещаясь вдоль Алеутских островов и углубляясь, циклон подошёл к Бристольскому заливу и начал вращаться вокруг своей вертикальной оси. Минимальное давление в центре циклона составляло 958 гПа. 31 декабря в систему этого циклона вошёл ещё один циклон с давлением в центре 958 гПа, он смещался с Аляски. Медленно заполняясь, циклоническая система просуществовала над восточной половиной моря до конца декады. Максимальная скорость ветра, вызванная циклонами, составляла 25–30 м/с, высота волн достигала 6–7 м, отмечался снег.

Обзор гидрометеорологических процессов и оценки текущего состояния
дальневосточных морей за 2015 год
Синоптический обзор

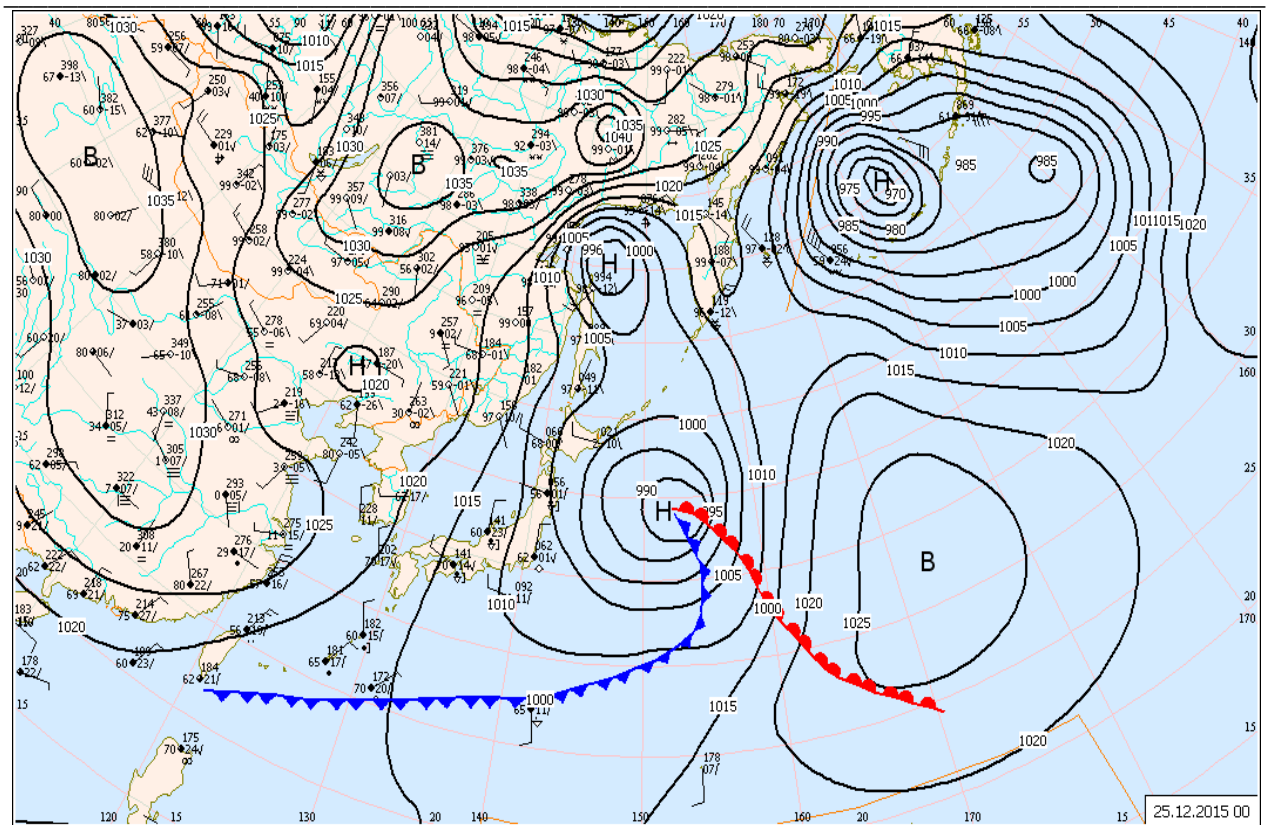


Рис. 1-7 Приземная карта за 12 ВСВ 25 декабря 2015 г.